

ハイパー核の生成と崩壊 (とつきあつて)

元場俊雄

研究会「ハイパー核物理の発展と今後の展開」
2013. 7. 7–8 志摩

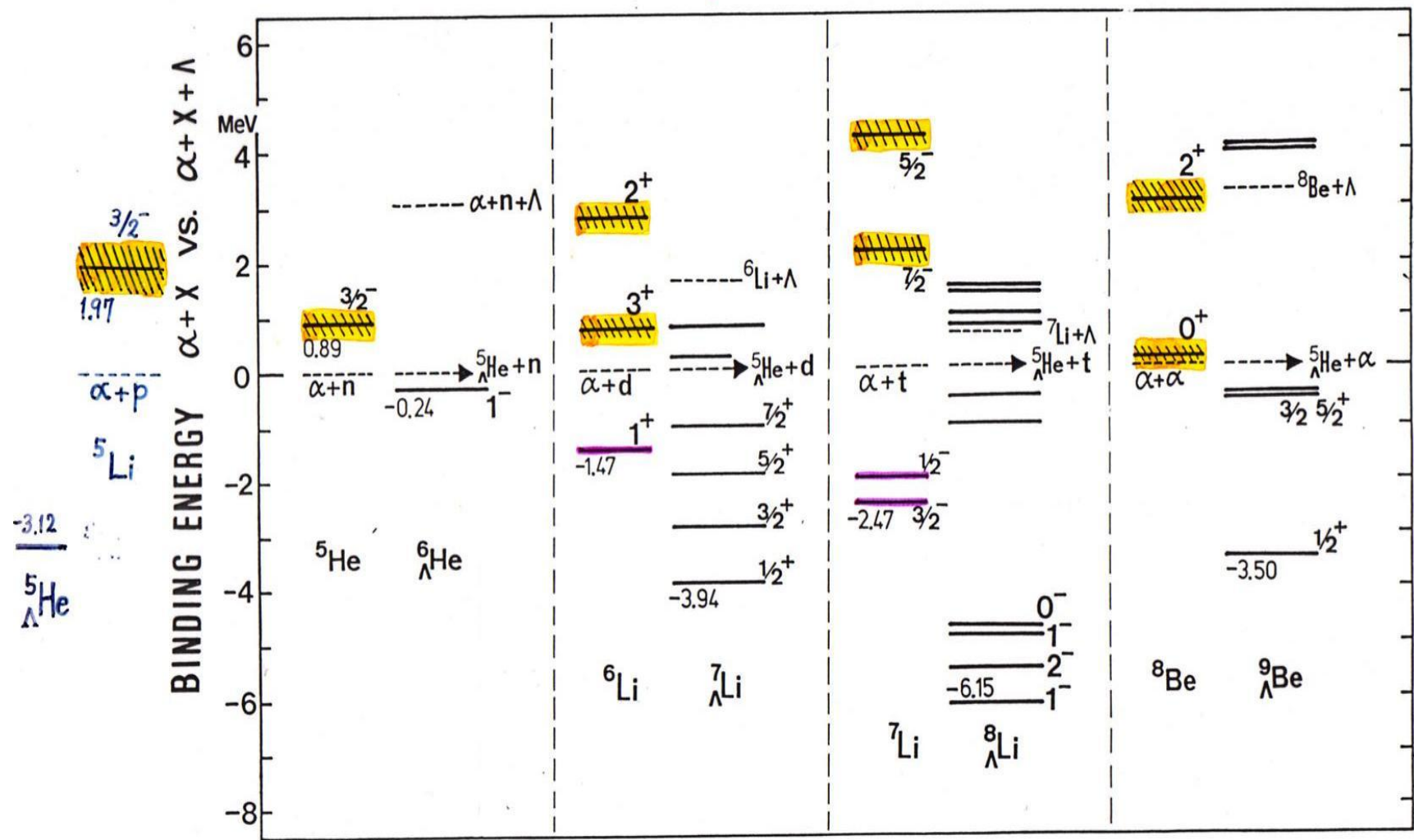
内容

1. 軽いハイパー核へのCluster modelの適用
2. ハイパー核生成反応
3. Weak decay (pionic)
4. ($e, e' K^+$) reaction spectroscopy beyond p-shell
5. 雜

1. 軽いハイパー核構造の面白さ クラスター・モデルの適用と展開

- Cluster modelの適用可能性($\alpha+x+\Lambda$)
まずOCM, $V(\Lambda N) = \text{ORG} \quad \& \quad \text{YNG}$
- ハイパー核構造の特徴・新奇性を明らかに
- 計算できる物理量は全部やる
- Core核と Λ のcoupling dynamics
- 生成断面積、崩壊幅、電磁遷移確率、 μ
- 3つの側面(生成、構造、崩壊)の意識

Hyp.N provides us with new opportunities
to study of dynamics of baryon many-body
systems.



$$^6Li = 3p + 3n$$

$$^7Li = 3p + 3n + \Lambda$$

$$^{11}C = 6p + 5n$$

$$^{12}\Lambda C = 6p + 5n + \Lambda$$

$$^{12}\Sigma^- B = 6p + 5n + \Xi^-$$

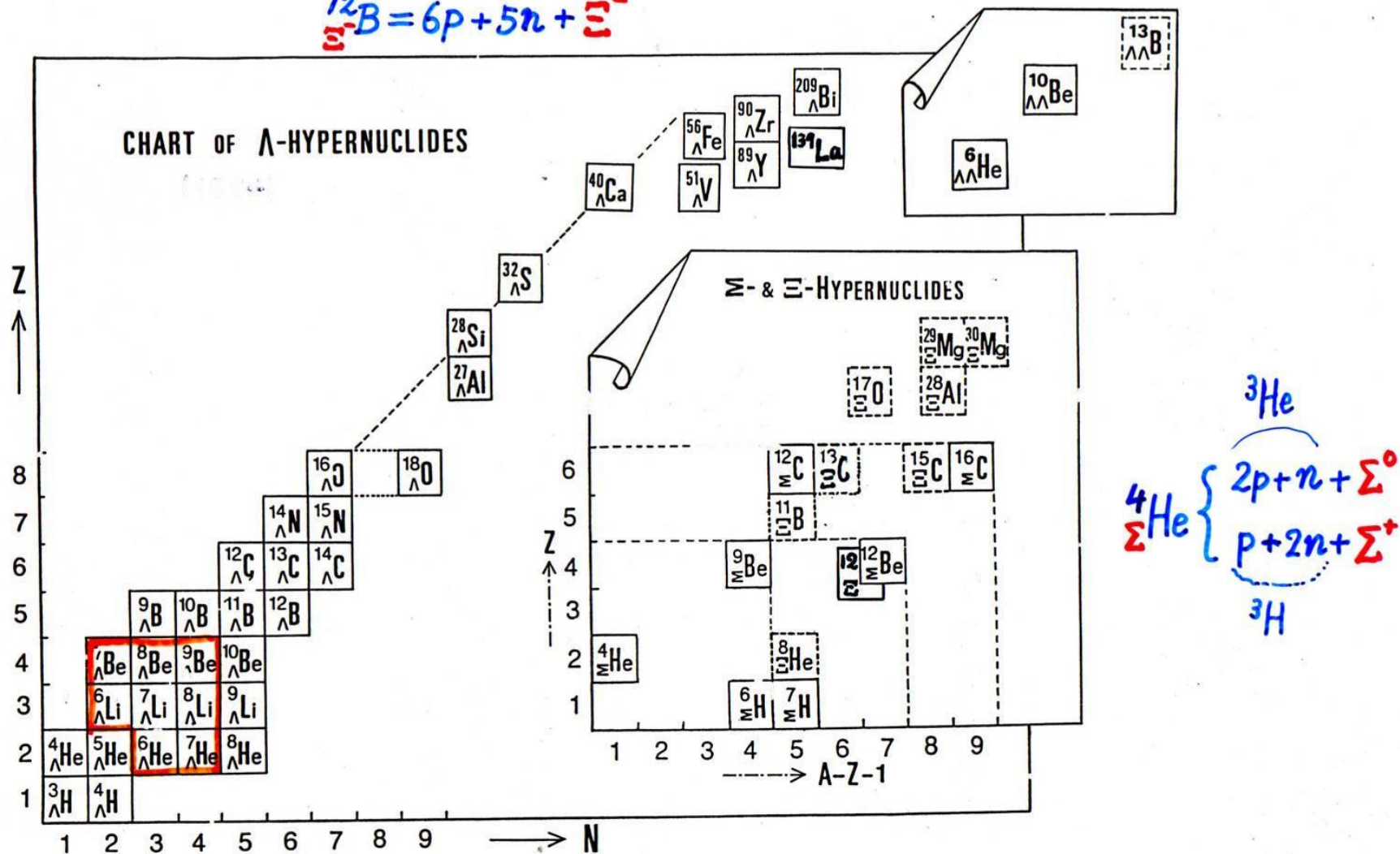


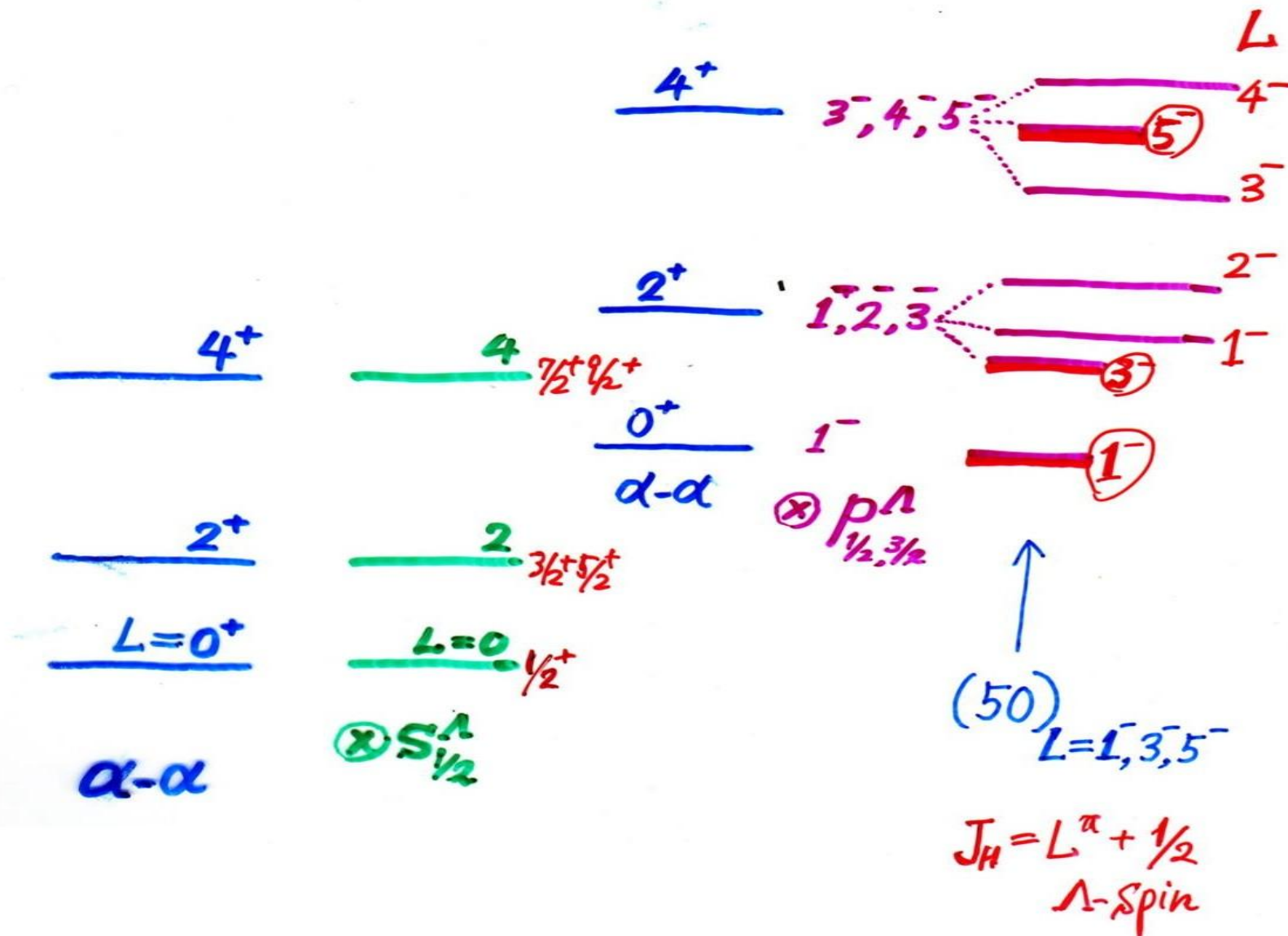
Fig. 1-1

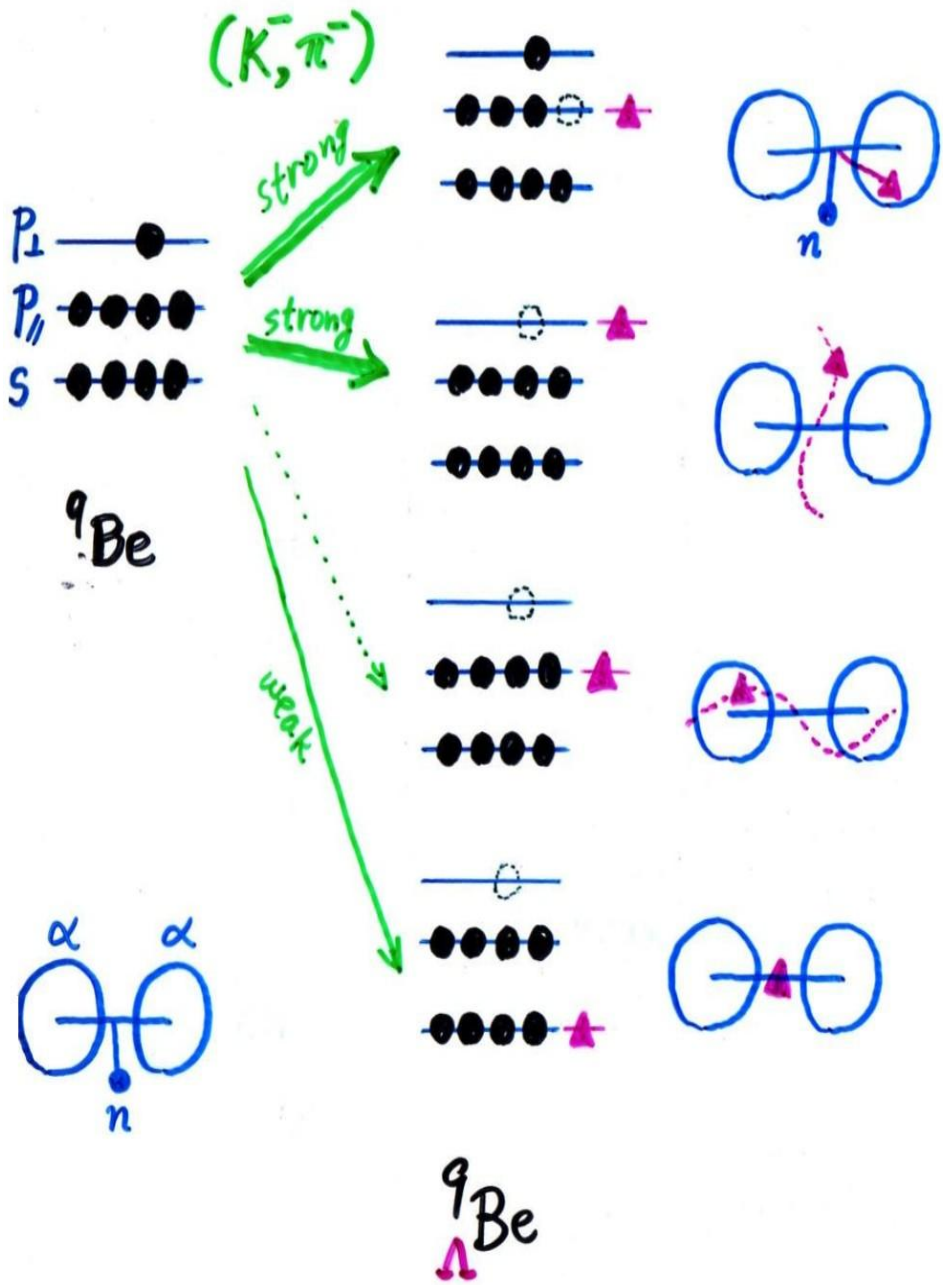
Applications of microscopic cluster models

Hypernuclear Cluster Model

$S = -1$	$S = -2$	$S \leq -3$
$t + \Lambda$	$t + \Lambda + \Lambda$	
$\alpha + \Lambda$	$\alpha + \Lambda + \Lambda$	
$\Rightarrow \alpha + x + \Lambda$	$\alpha + x + \Lambda + \Lambda$	$\alpha + \alpha + n\Lambda$ $(n=3,4)$
$\alpha + \alpha + \alpha + \Lambda$		
$\alpha + {}^{16}\text{O} + \Lambda$		$\hat{\alpha} + \hat{\alpha}$
$t + \Sigma$		$\hat{\alpha} + \hat{\alpha} + \hat{\alpha}$
$\alpha + \Sigma$		
$\alpha + t + \Sigma$	$(\Xi^+ \text{Hy.})$	
$\alpha + \alpha + \Sigma$		
<hr/>		
$(x \equiv p, n, d, t, h, \alpha)$		$\hat{\alpha} \equiv {}_M^6\text{He} = \alpha + \Lambda + \Lambda$
$\Rightarrow \alpha^* + \alpha + \Lambda$		
$\alpha^* + p + \Lambda$		

weak coupling with $\Lambda(s)$,
 strong coupling with $\Lambda(p)$,





Substitutional

$S = \frac{1}{2}; L = 1^-, 2^-, 3^-, 4^- (K = 1^-)$

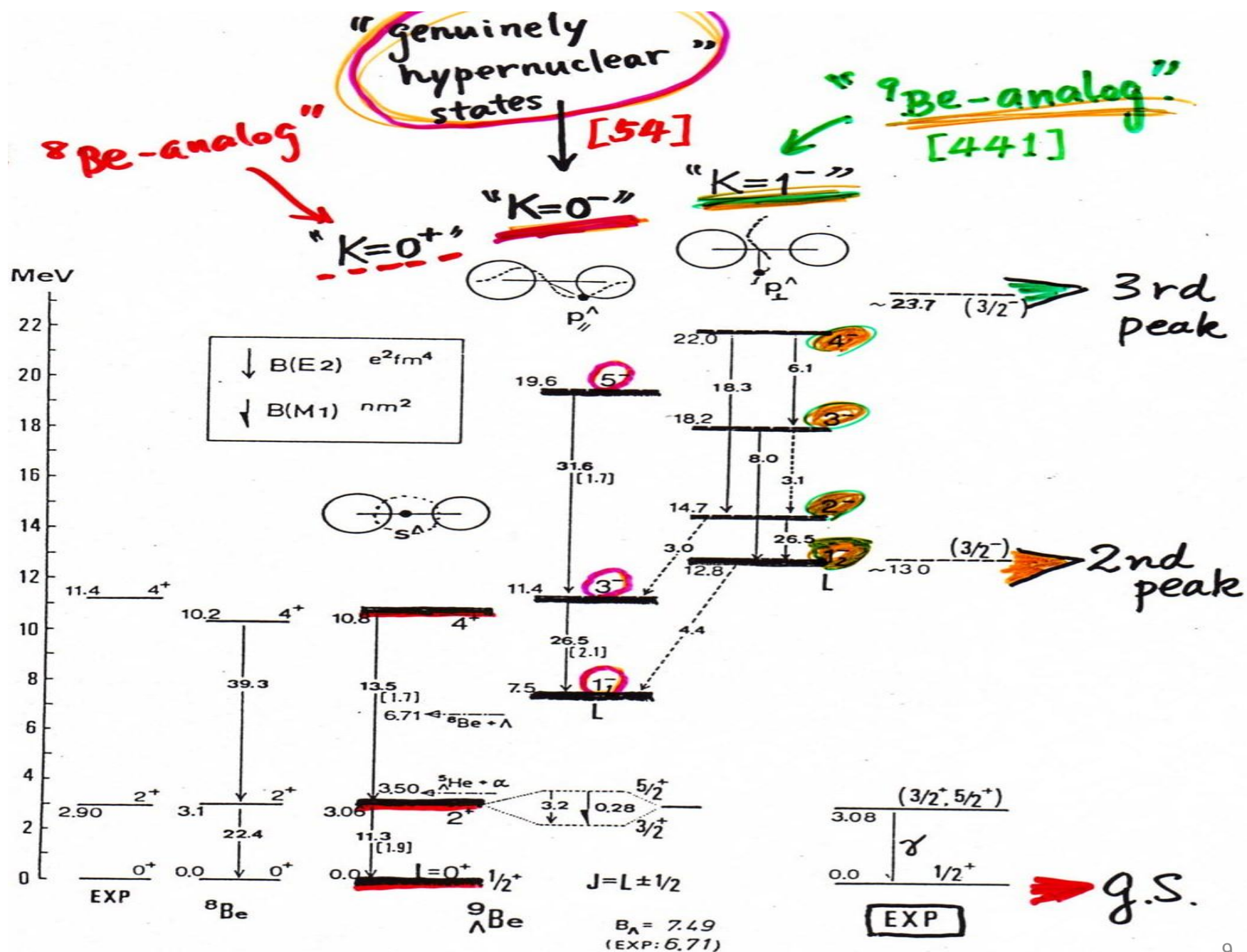
Substitutional ${}^9\text{Be}$ -analogue

$S = \frac{1}{2}; L = 1^-, 3^-, 5^- (K = 0^-)$

50_L genuinely hypernuclear

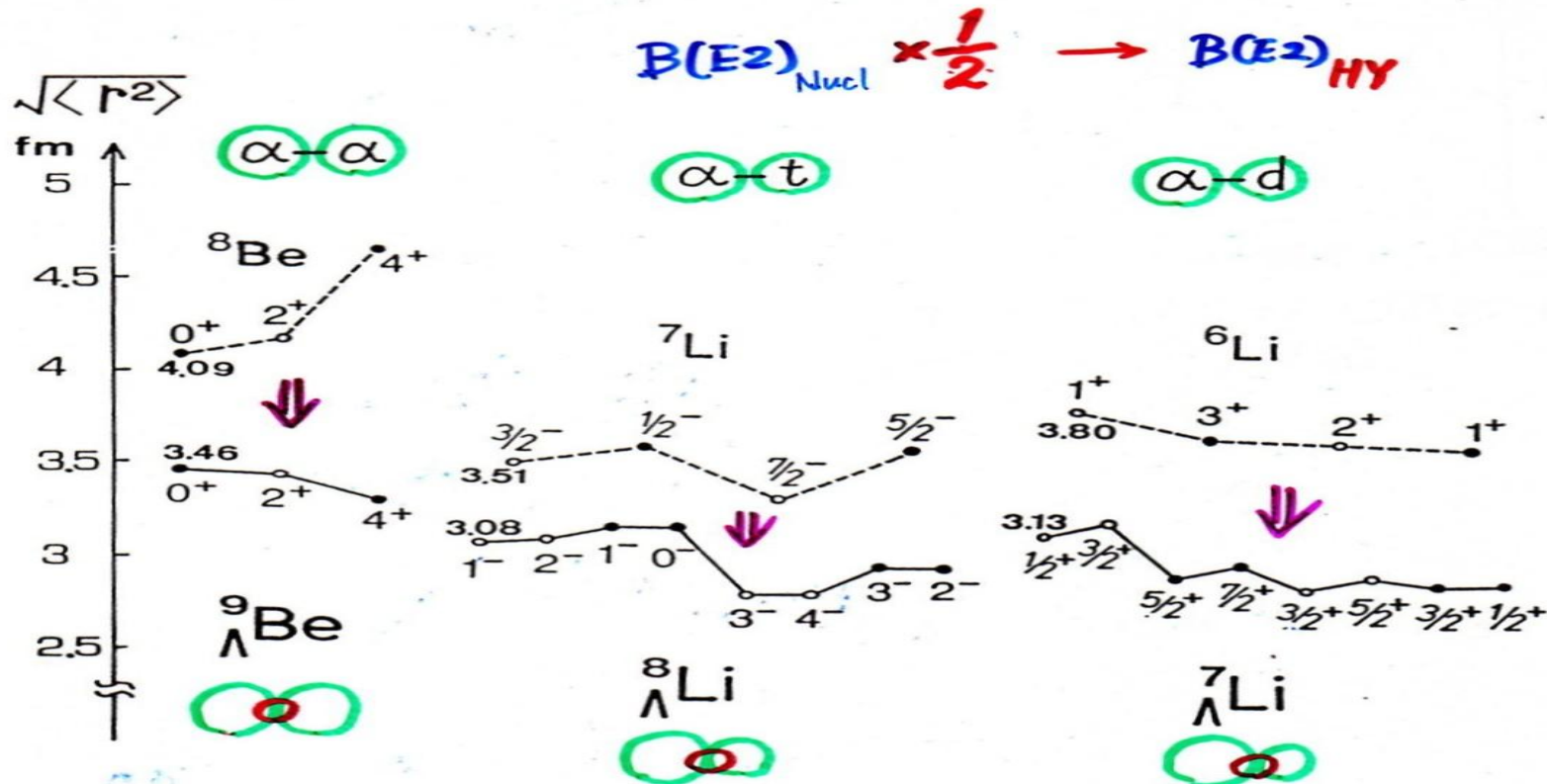
$S = \frac{1}{2}; L = 0^+, 2^+, 4^+$

${}^8\text{Be}$ -analogue



Shrinkage due to Λ participation ("glue-like role" of Λ)

T. Motoba, H. Bando and K. Ikeda, P. T.P.70(1983)



10~18 % contraction of $\alpha-x$ distance
(shrinkage)
→ glue-like role of Λ particle

Microscopic cluster modelの展開

- Yamadaらの展開

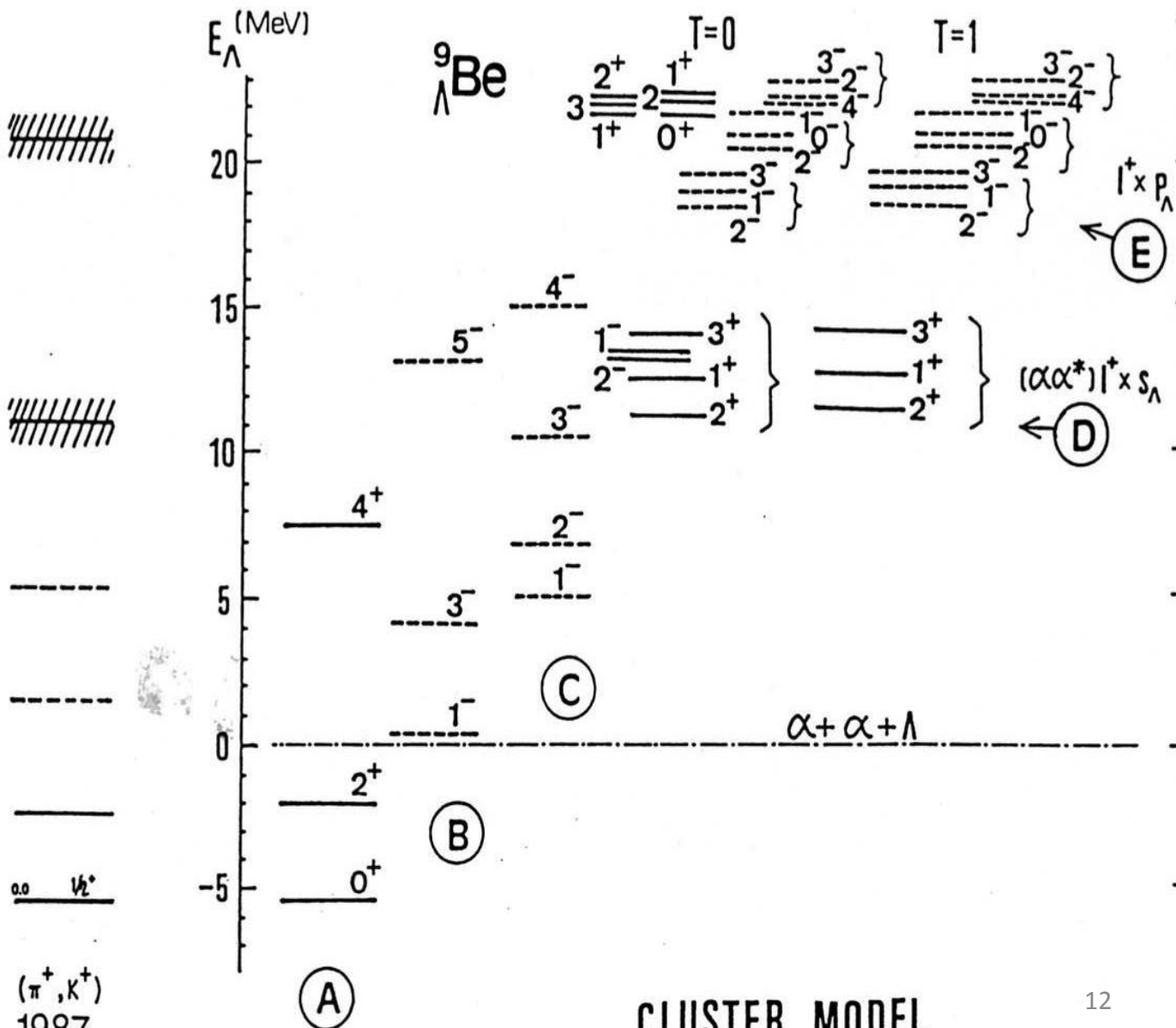
$\alpha^* + \alpha + \Lambda$ 計算、S行列による幅の計算
 $\alpha + {}^{16}\text{O} + \Lambda$

- Hiyamaらの展開

$\Lambda^5\text{He} + p + n$ 、 $\alpha + \Lambda + p + n$ 精密計算
ダブルハイパー核へ

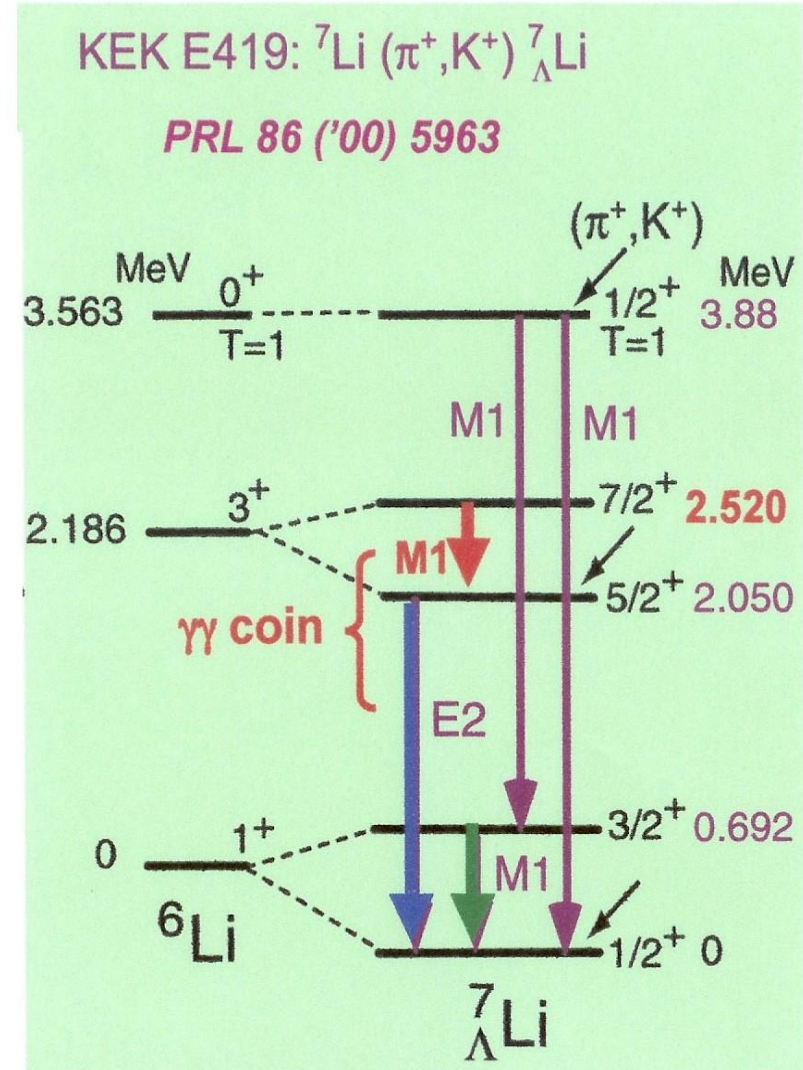
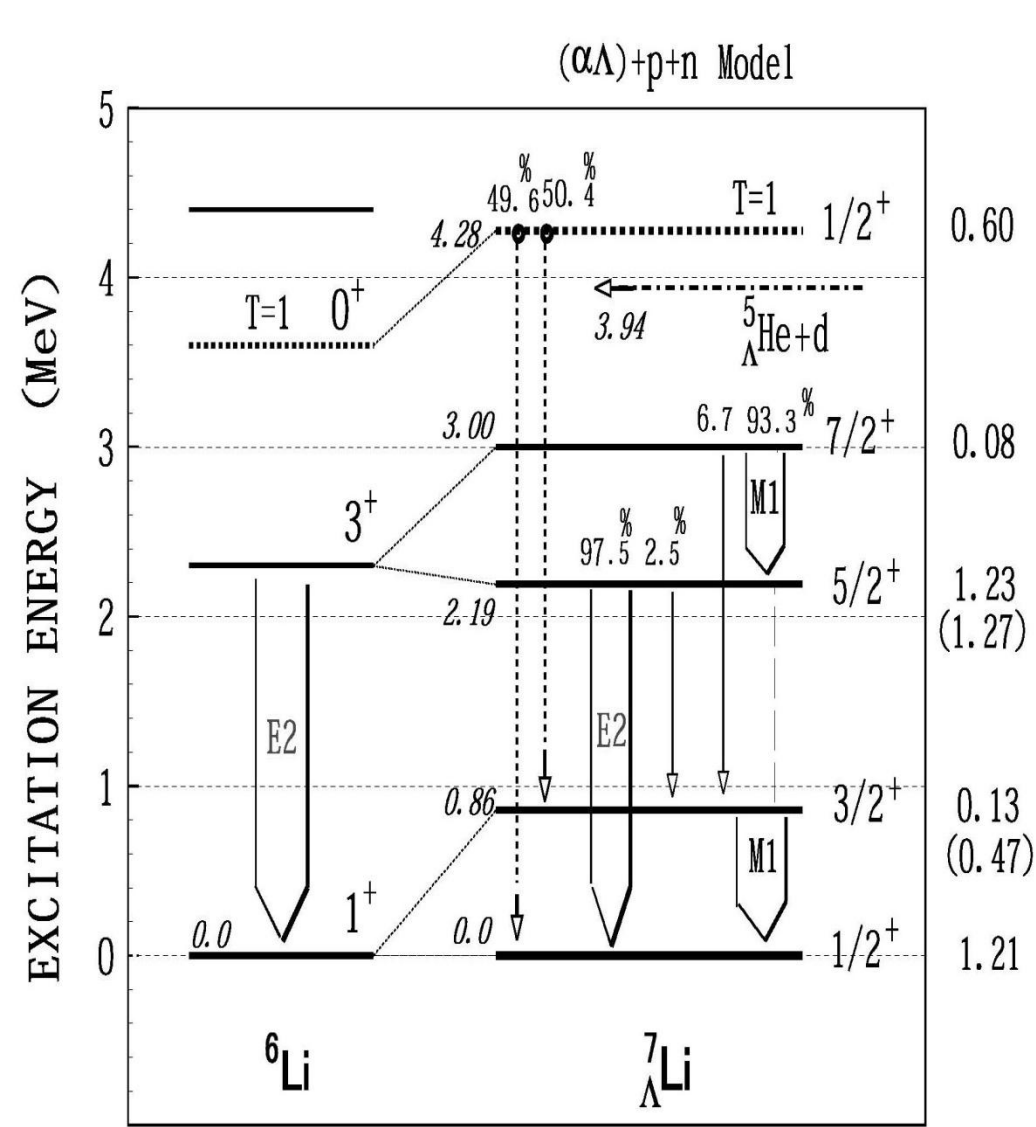
Experiment

	B_Λ	
Emulsion	$\frac{0}{0} \nu_L$	
1963,65	(K^-, π^-)	$\frac{308}{0.0} \nu_L$
	(1979)	
	$(K^-, \pi^- \gamma)$	$\frac{0.0}{0.0} \nu_L$
		(π^+, K^+)
	1983	1987



CLUSTER MODEL

$B(6\text{Li}, E2; 3+ \rightarrow 1+)$ vs. $B(\Lambda^7\text{Li}, E2; 5/2+ \rightarrow 1/2+)$



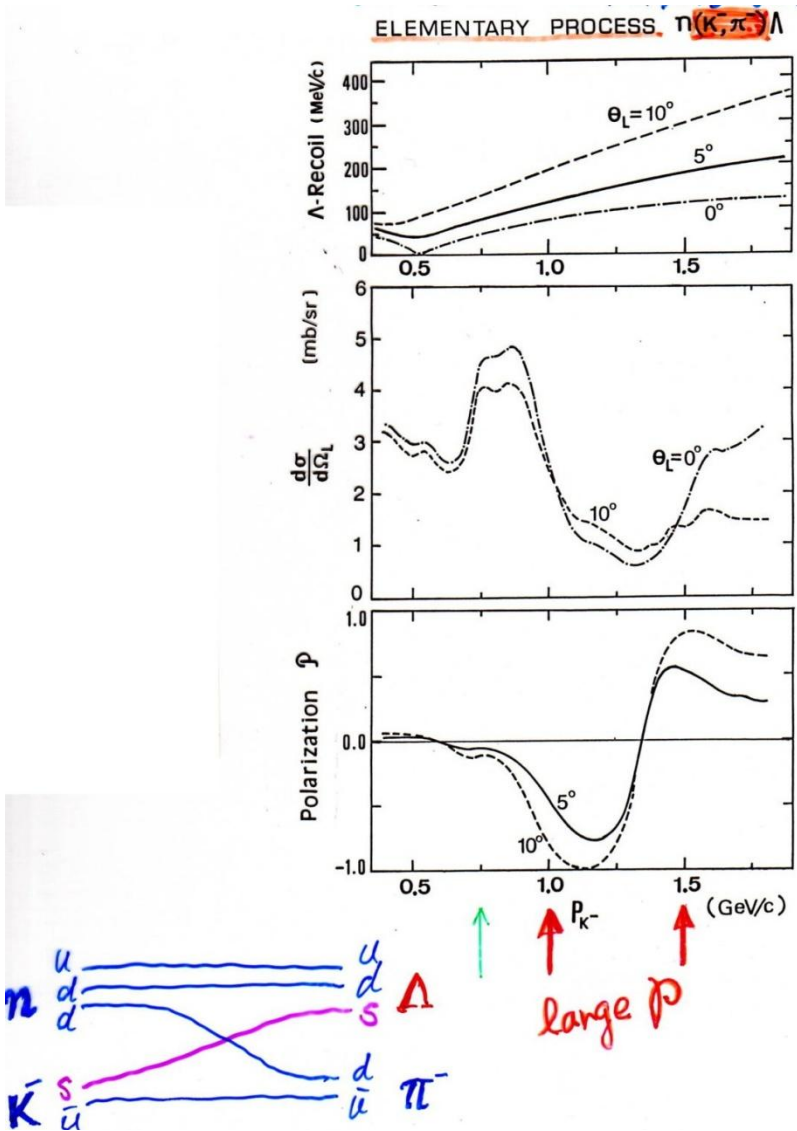
All the bound states determined

2. ハイパ一核生成反応

Characteristics of the (K^-, π^-) , (π^+, K^+) , (γ, K^+) reactions

- DWIA treatment based on the elementary amplitudes (spin-flip, spin non-flip)
- Nuclear and hypernuclear wave functions including core excitation effects

How to produce hyperons and hypernuclei

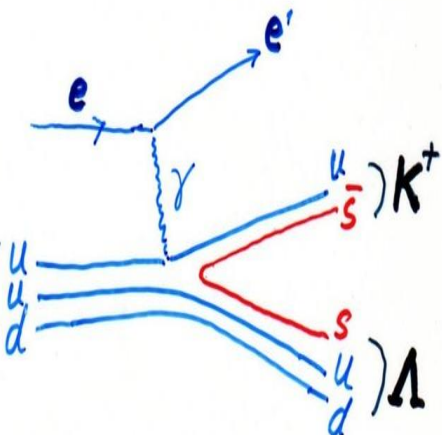
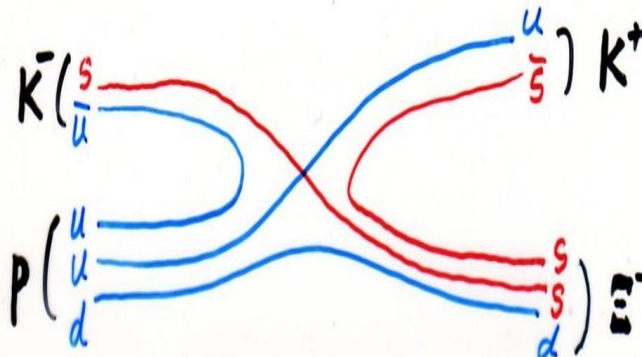


- $\pi(K^-, \pi^-) \Lambda, \Sigma$

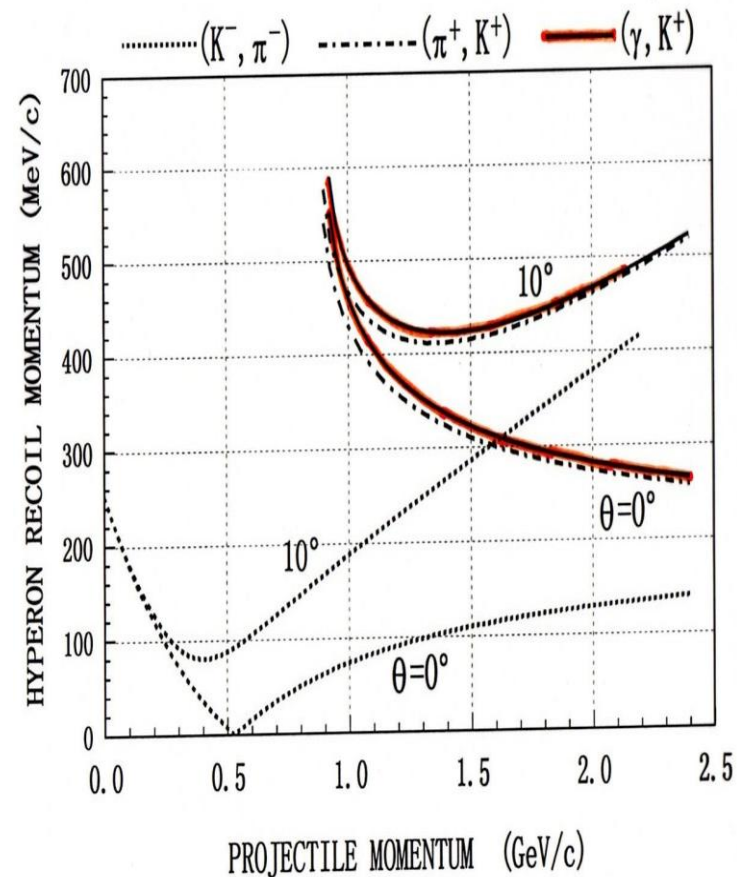
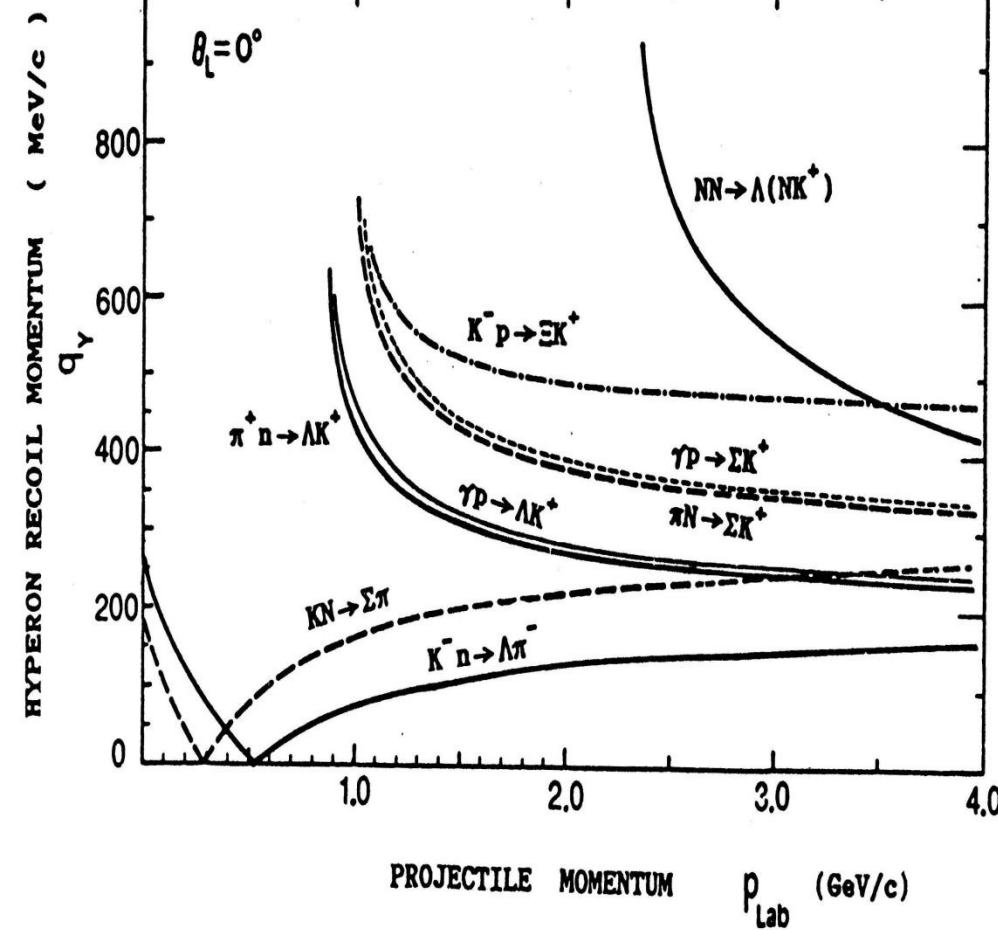
- $N(\pi^\pm, K^\pm) \Lambda, \Sigma$

- $p(e, e' K^+) \Lambda, \Sigma$

- $p(K^-, K^+) \Xi^-$



Hyperon recoil momentum and the transition operator determine the reaction characteristics



$$q = 350 - 420 \text{ MeV}/c \text{ at } E_\gamma \approx 1.3 \text{ GeV}$$

16

Selectivity in hypernuclear productions

(K^-, π^-) at $p=0.8$ GeV/c:

*Recoilless production of Λ
substitutional states with $\Delta L=0,1$*

(π^+, K^+) at $p=1.05$ GeV/c:

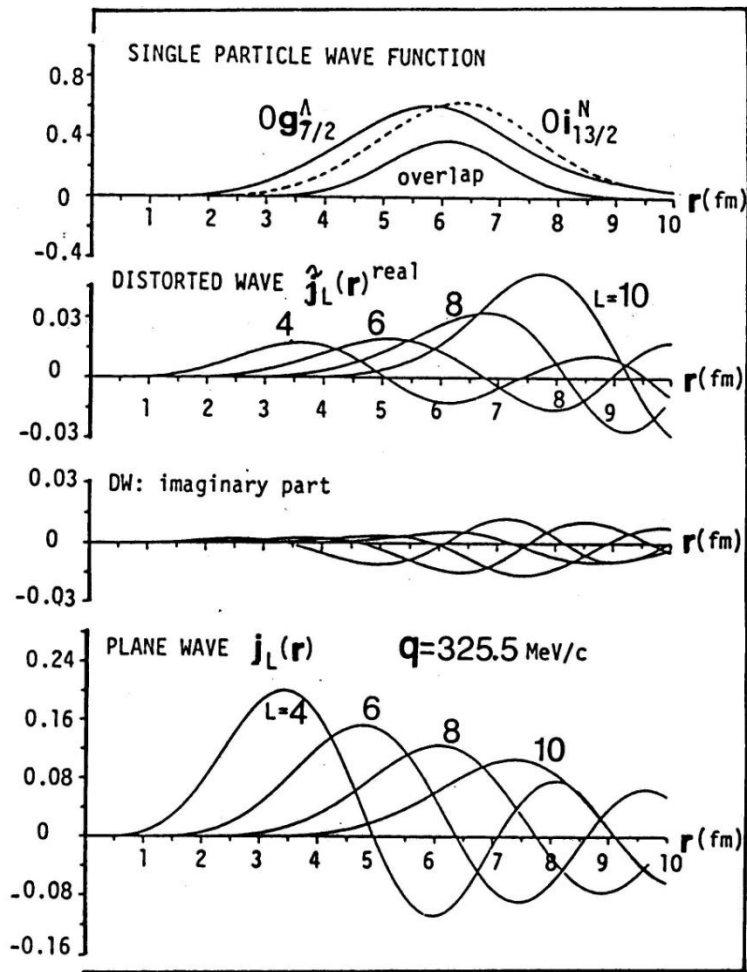
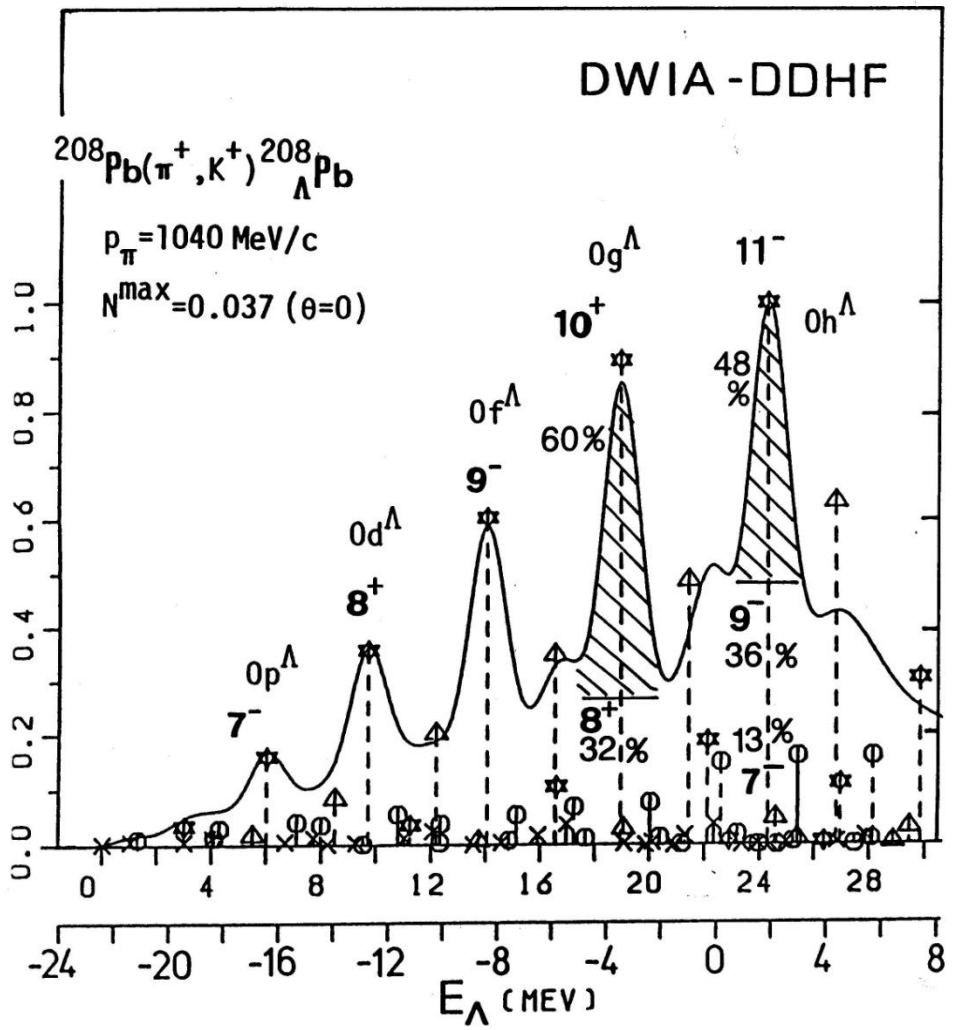
Natural parity high-spin stretched states

(γ, K^+) at $p=1.3$ GeV/c:

Unnatural parity high-spin states

Well-separated pronounced peaks

(Weidenmuller), Dover-Ludeking-Walker, Motoba-Bando



Estimates of E2/M1 transitions and reaction cross sections using Nuc. & Hyp. WF

In the "frozen-nucleon" approximation,

$$|\overline{T}_{if}^L|^2 = \sum_{M_f} R(J_f J_i; M_f),$$

$$R(J_f J_i; M_f) \equiv \frac{1}{2J_i + 1} \sum_{M_i} \left| \langle J_f M_f | \hat{\rho}_{ba} | J_i M_i \rangle \right|^2$$

Frame $\{\hat{x} = \hat{y} \times \hat{z}, \hat{y} \parallel q, \hat{z} \parallel \hat{n}\}$

$$\vec{q} \equiv \vec{p}_a - \vec{p}_b$$

M is quantized along the direction \hat{n}

$$R(J_f J_i; M_f)$$

$$= \lambda^2 \{ |f|^2 \rho^{ff}(M_f) + |g|^2 \rho^{gg}(M_f) \\ + 2 \text{Im}[fg^*] \rho^{fg}(M_f) \}$$

$$N^H(J_f J_i) \equiv \sum_{M_f} \rho^{ff}(M_f), \text{ etc}$$

reduced eff. number
(cf. H. Baroldi et al.
P.R. C39 (1989))

$|\overline{T}_{if}^L|^2$ consists of N^H , N^{gg} and N^{fg} .
generalization of eff. nucleon number

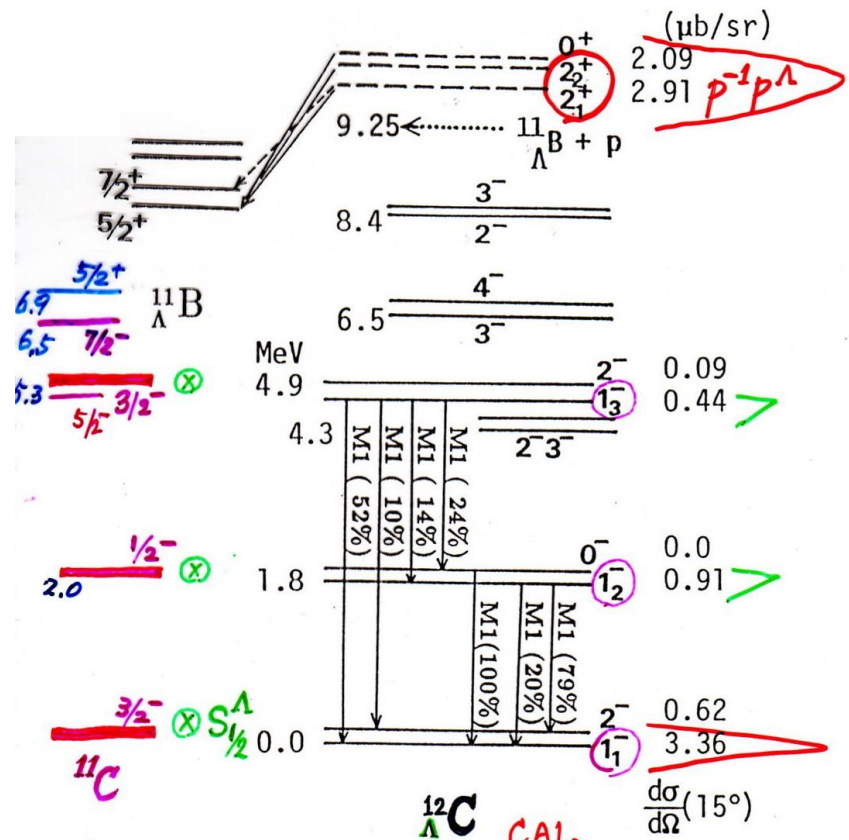


Figure 2 Calculated decay scheme of ${}^{12}\Lambda$

(π^+, K^+) at $p=1.05$ GeV/c:

CAL (Itonaga et al 1994) VS. EXP (Hotchi et al, 2001)

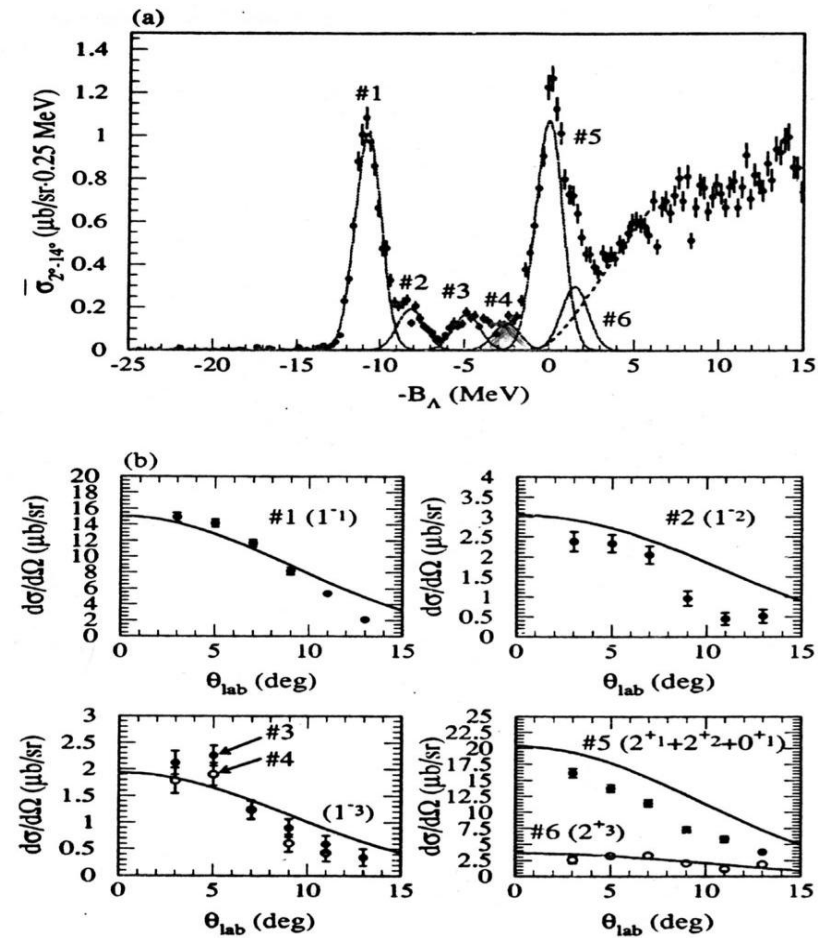
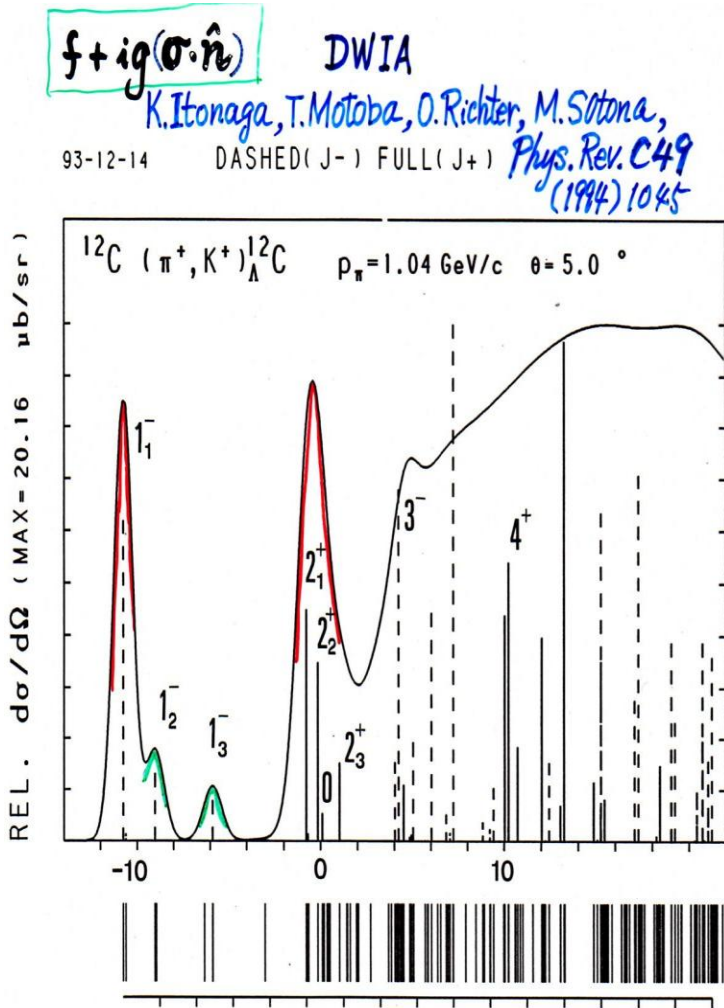


FIG. 8. (a) ${}^{12}\text{C}$ spectrum obtained with the thick carbon target.
 (b) Angular distributions of kaons leading to the observed peaks for the ${}^{12}\text{C}(\pi^+, K^+)$ reaction derived from the above high-statistics

(Example) How to understand $\Lambda^{89}\text{Y}$ data

H. HOTCHI *et al.* PHYSICAL REVIEW C 64 044302

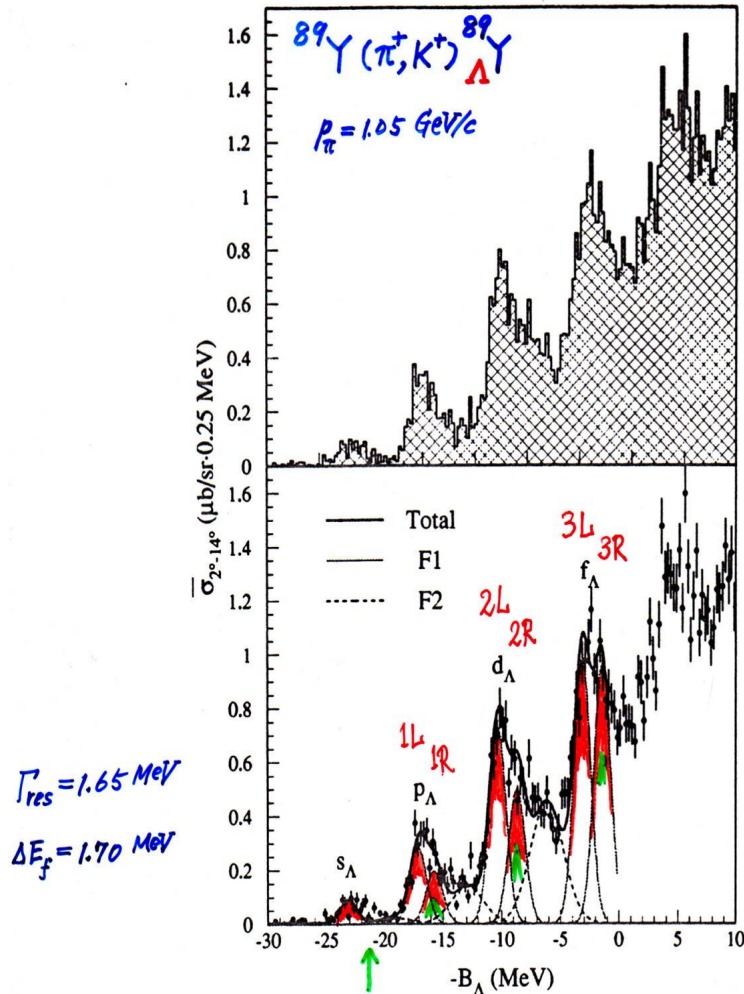
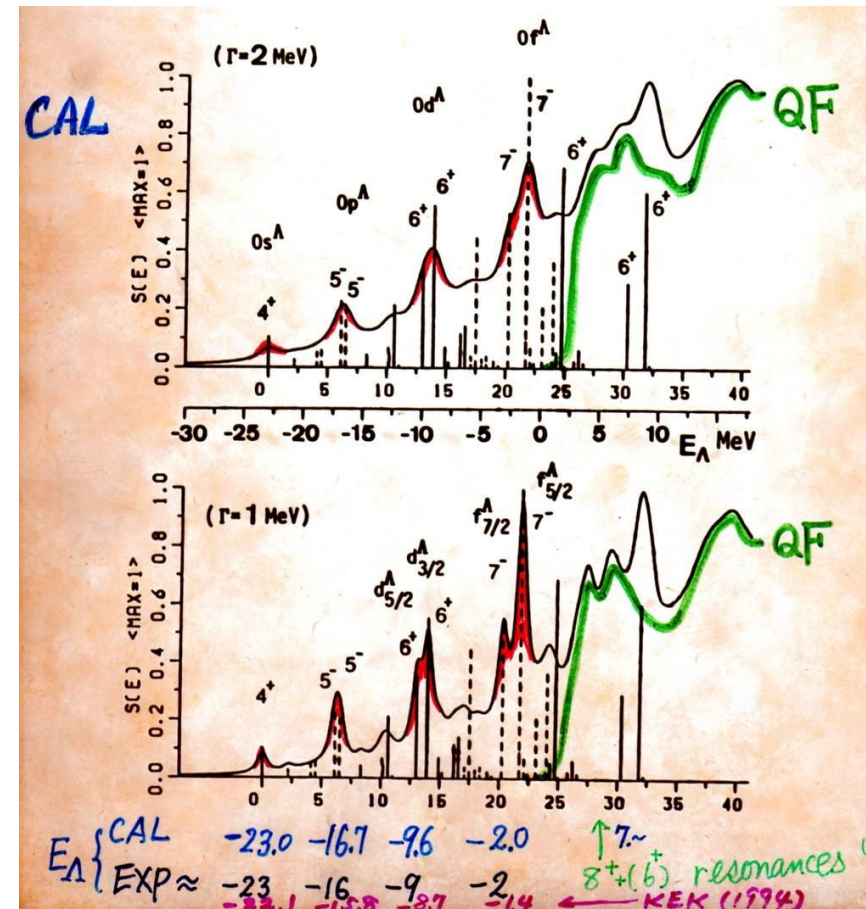


FIG. 5. Hypernuclear mass spectra of $\Lambda^{89}\text{Y}$ without (up) and with (down) fitting curves described in the text. The quoted errors are statistical.



If we assume that each doublet corresponds to $j_>$ and $j_<$,

Two Serious problems arise:

(1) Energy splittings are **not** proportional to $(2\ell + 1)$.

Peaks	E_Λ (MeV)	ΔE_Λ (EXP)	(ΔE_Λ ratio) (HO)	(WS-CAL)
$\ell=0$	-23.11			
$\ell=1$	L -17.10 R -15.73	1.37	(1.0)	(1.0)
$\ell=2$	L -10.32 R -8.69	1.63	(1.19)	(1.67)
$\ell=3$	L -3.13 R -1.43	1.70	(1.24)	(2.33)

If we assume that each doublet corresponds to $j_>$ and $j_<$,

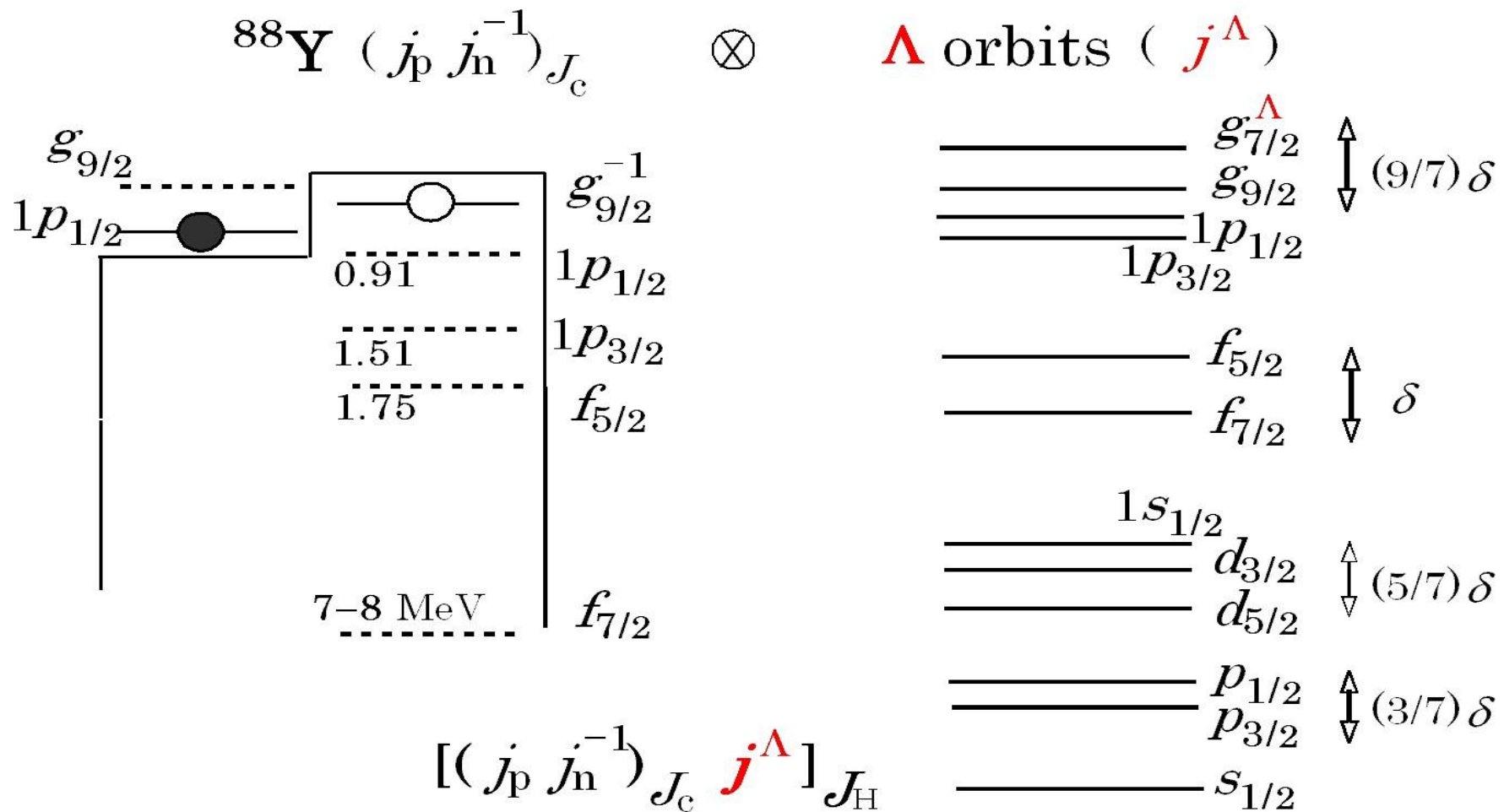
Two Serious problems arise:

(2) Cross section ratio is opposite to the theory .

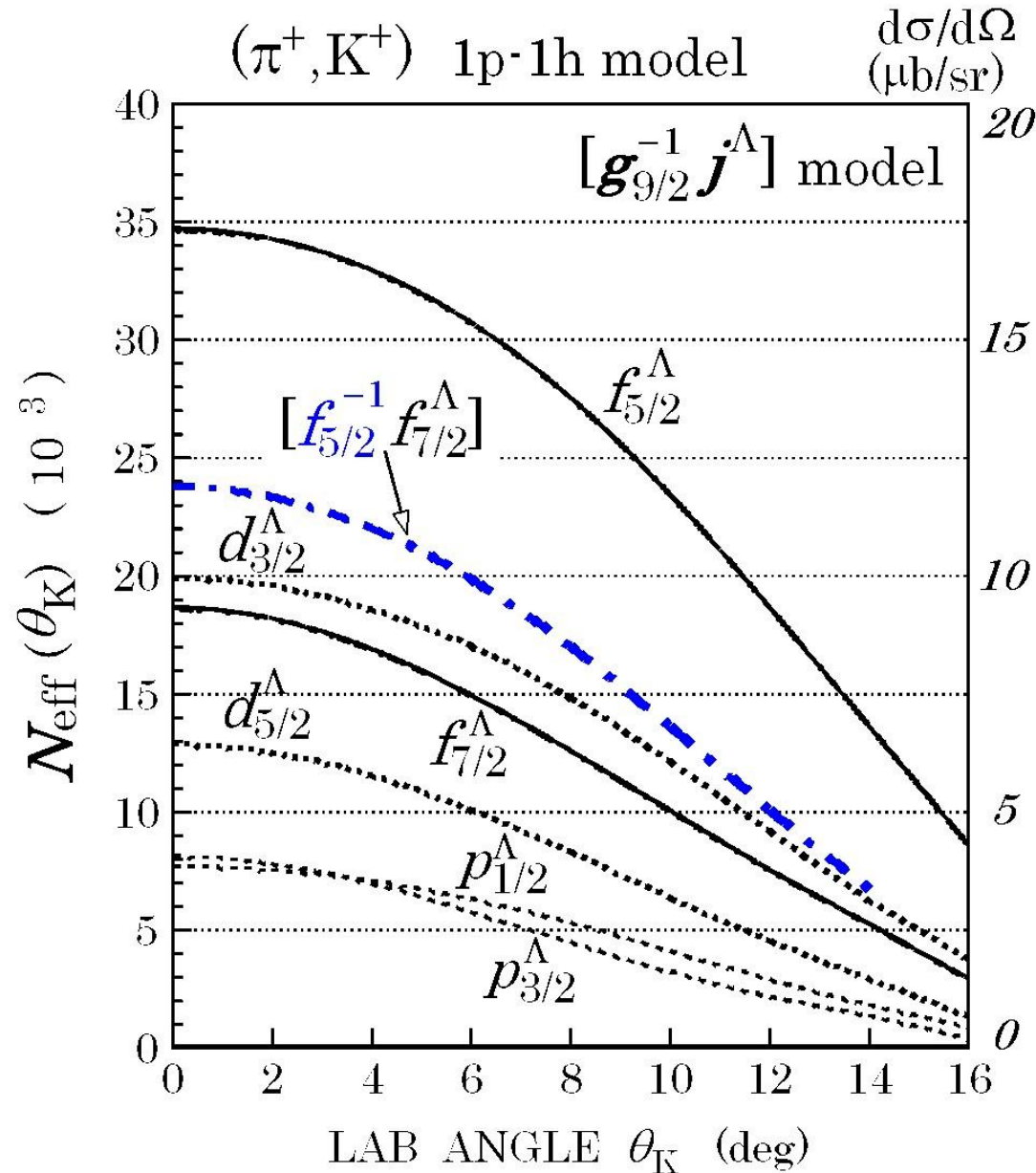
Peaks	E_Λ (MeV)	σ ($\mu\text{b}/\text{sr}$)	L/R ratio (EXP)	L/R ratio (<u>DWIA-CAL</u>)
$\ell=0$	-23.11	0.60		
$\ell=1$	L -17.10	2.00	} 1.45	1.00 (<u>L=R</u>)
	R -15.73	1.38		
$\ell=2$	L -10.32	5.10	} 1.45	0.55 (<u>L < R</u>)
	R -8.69	3.52		
$\ell=3$	L -3.13	6.87	} 1.01	0.44 (<u>L < R</u>)
	R -1.43	6.79		

Models for Structure of $^{89}\Lambda Y$:

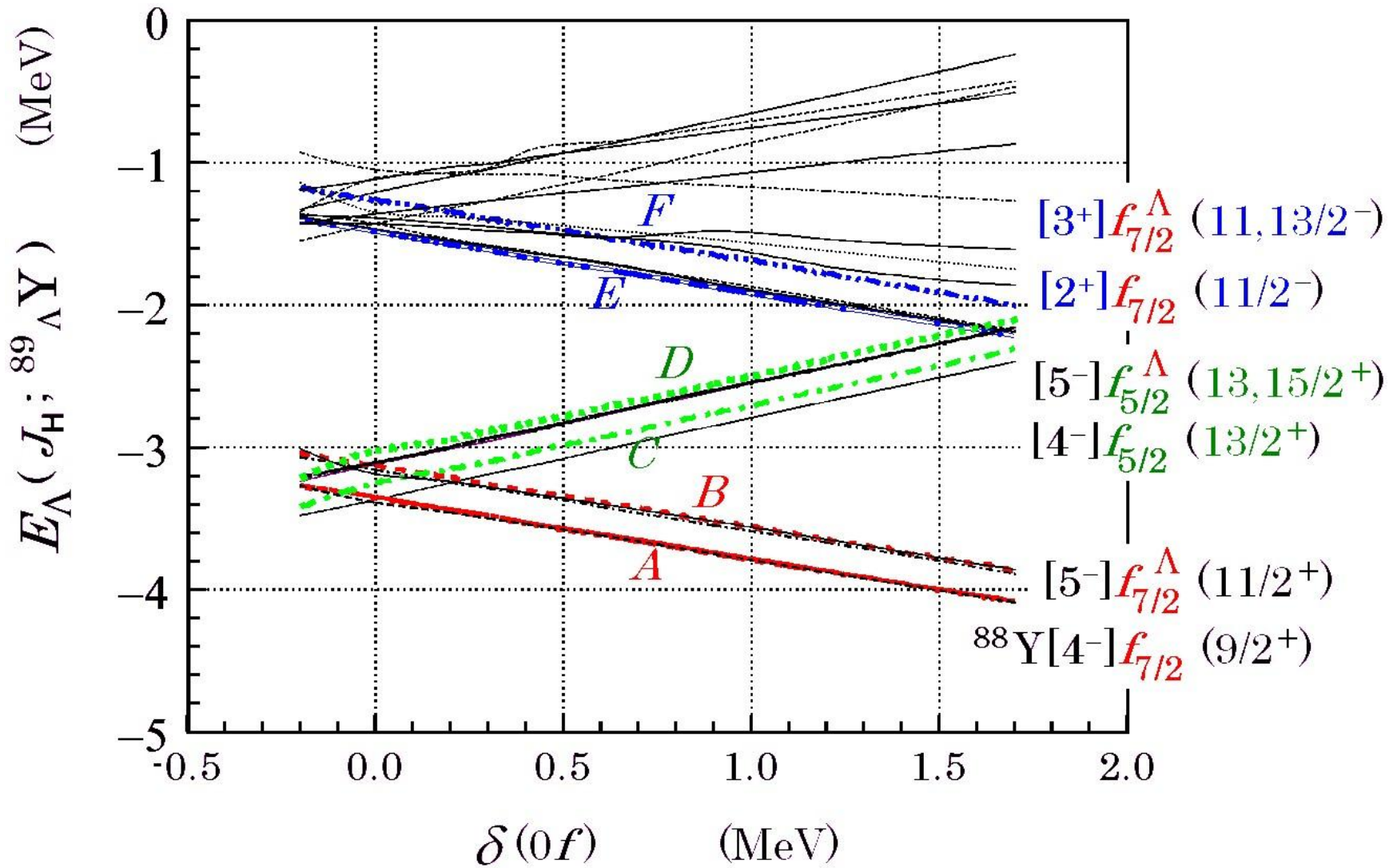
(3) Many $[1p-1h]_{J_c}$ multiplets of the ^{88}Y core excitation due to ν_{NN} .

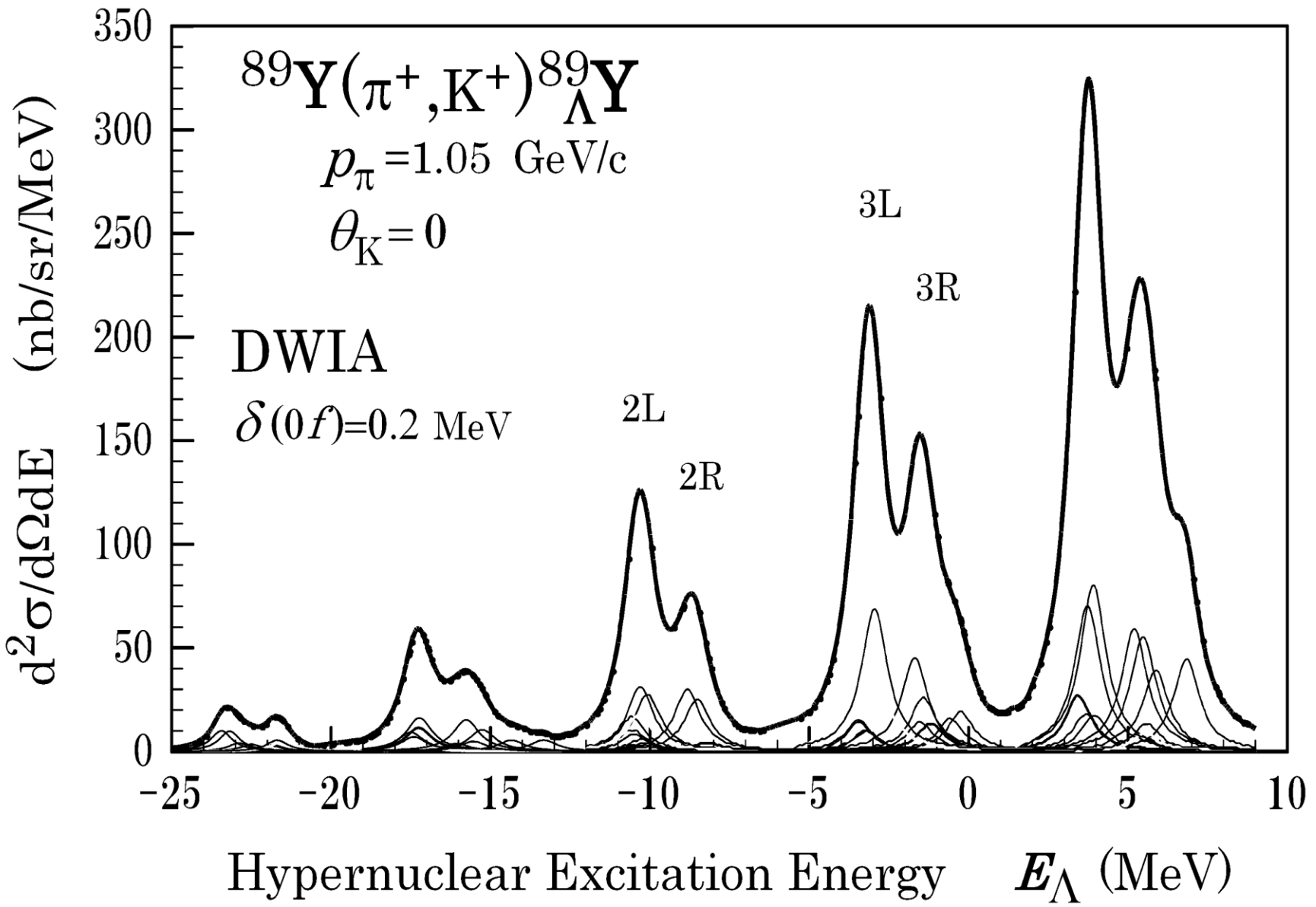


Cross section estimates



Change of energies as a function of δ





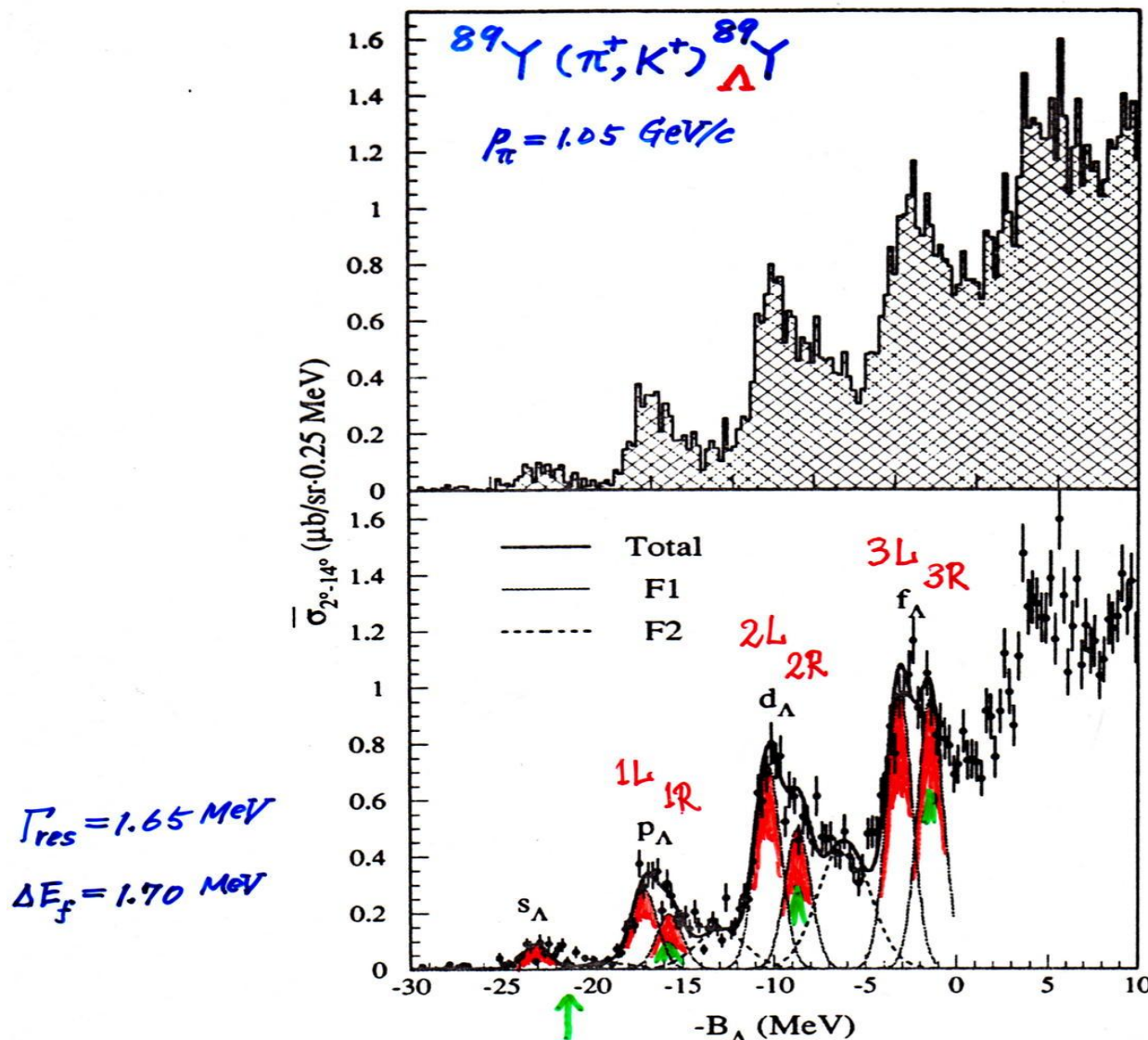


FIG. 5. Hypernuclear mass spectra of ^{89}Y without (up) and with (down) fitting curves described in the text. The quoted errors are statistical.

橋本、永江らの(pi^+ , K^+)実験は、原子構造のFrank-Hertzの実験に相当

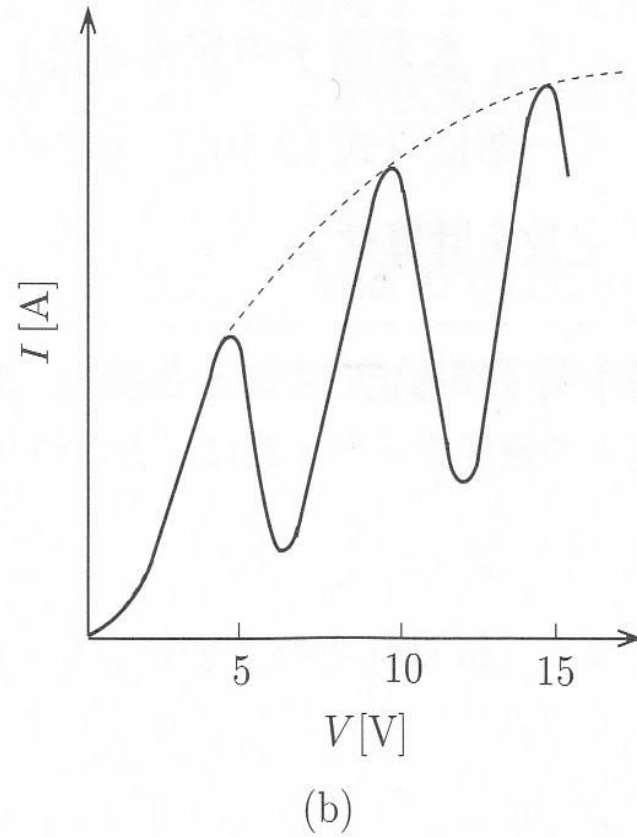
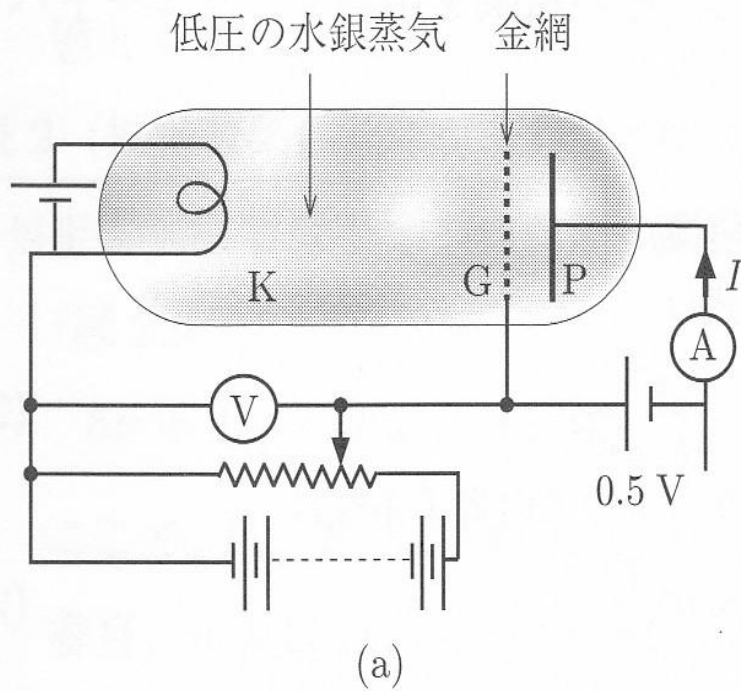


図 2.10 (a) フランク・ヘルツの実験の概念図と (b) 金網 G の電圧 V と電流 I の関係

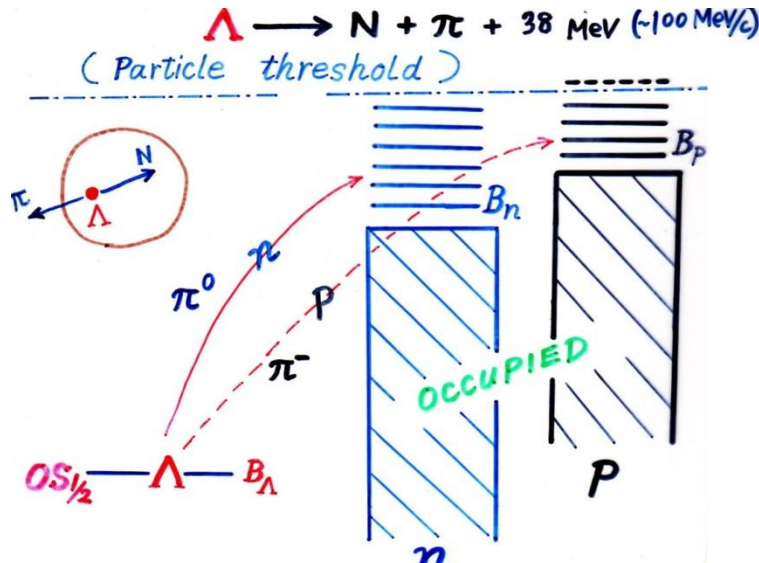
3. 弱崩壊

π -decay, NM-decay

- Itonagaらと計算
- 波動関数はYamamotoらのYNG interactions
により構造計算

4. Mesonic decay of p-shell hypernuclei:

The shell model works nicely to explain data.



Increase of nucleon occupation
(Pauli blocking) $A \rightarrow \infty$

Approx. orthogonality $\langle \psi_N | \phi_\Lambda \rangle \approx 0$

No distortion: $\Gamma_{\pi^0}/\Gamma_\Lambda < 10^{-4}$ for $100 < A$

Pion distortion induces high- q components.

→ Restore $\langle \psi_N | \chi_\pi | \phi_\Lambda \rangle$

Shell & Cluster Structure Effects

Pion distorted waves $\chi_\pi^{(\pm)}(q; r)$
solve Klein-Gordon Eq.

Optical potential (MSU group)

J.A. Carr et al. P.R. C25 (1982) 952

effective form:

$$2wU_\pi = -4\pi [b_{\text{eff}} \rho(r) - c_{\text{eff}} \nabla \rho(r) \nabla$$

$$+ c_{\text{eff}} \frac{\omega}{2M} \nabla^2 \rho(r)]$$

adopted

general form:

⊕ Vertex renormalization
M. Ericson & H. Bandō, P.L. B293 (1990) 189

$$2wU_\pi = -4\pi [b(r) + B(r)] + 4\pi \nabla \cdot \{ \tilde{L}(r) [c(r) + C(r)] \} \nabla$$

LLEE

$$-4\pi \left\{ \frac{P_1 - 1}{2} \nabla^2 c(r) + \frac{P_2 - 1}{2} \nabla^2 C(r) \right\}$$

$$b(r) = p_1 [b_0 \rho(r) - \epsilon_{\pi} b_1 \delta \rho(r)]$$

$$c(r) = \frac{1}{p_1} [c_0 \rho(r) - \epsilon_{\pi} b_1 \delta \rho(r)]$$

$$B(r) = p_2 B_0 \rho(r)^2$$

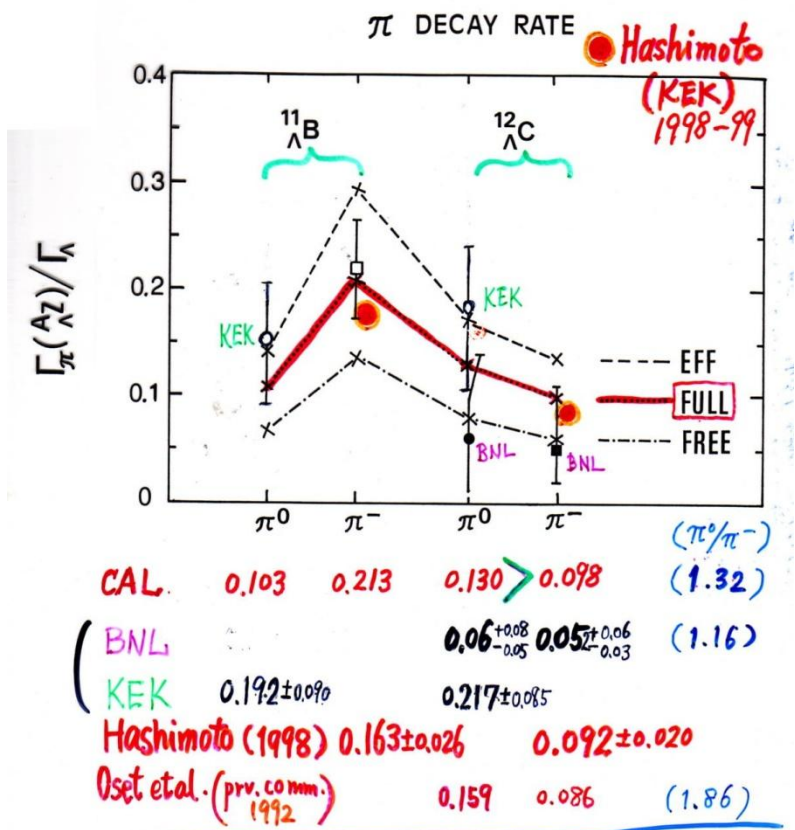
$$C(r) = \frac{1}{p_2} C_0 \rho(r)^2$$

$$\tilde{L}(r) = \left\{ 1 + \frac{4\pi}{3} \lambda [c(r) + C(r)] \right\}^{-1}$$

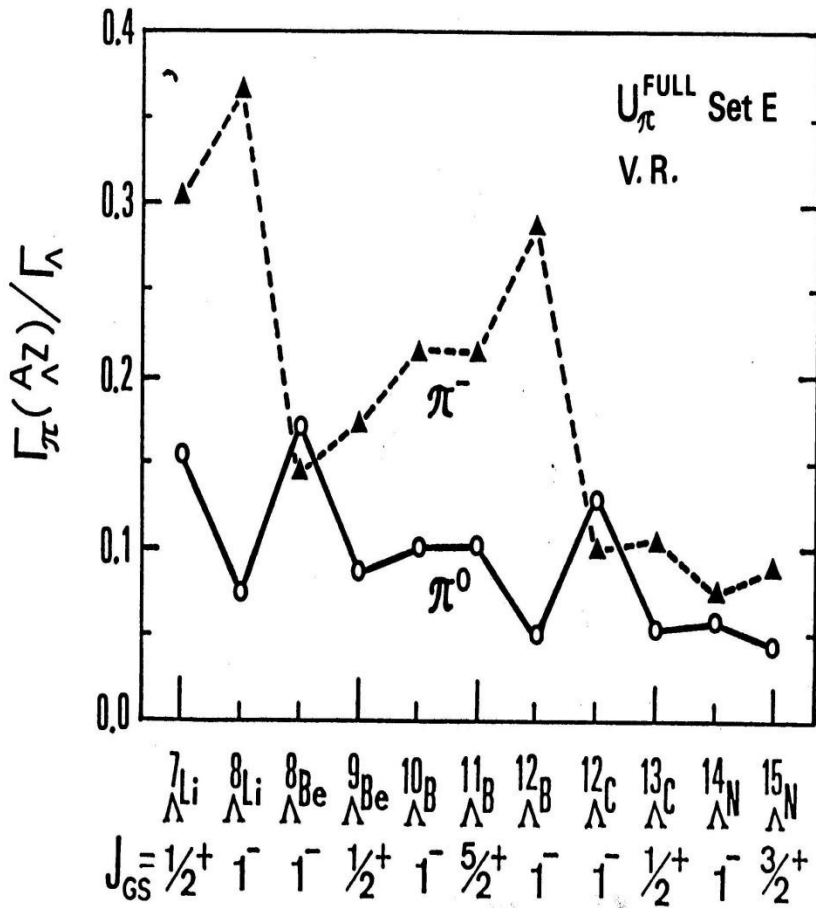
$$\begin{aligned} L^{(s)}(r) &= 1 \\ L^{(p)}(r) &= \tilde{L}(r) \end{aligned}$$

Shell dependence predicted explained.

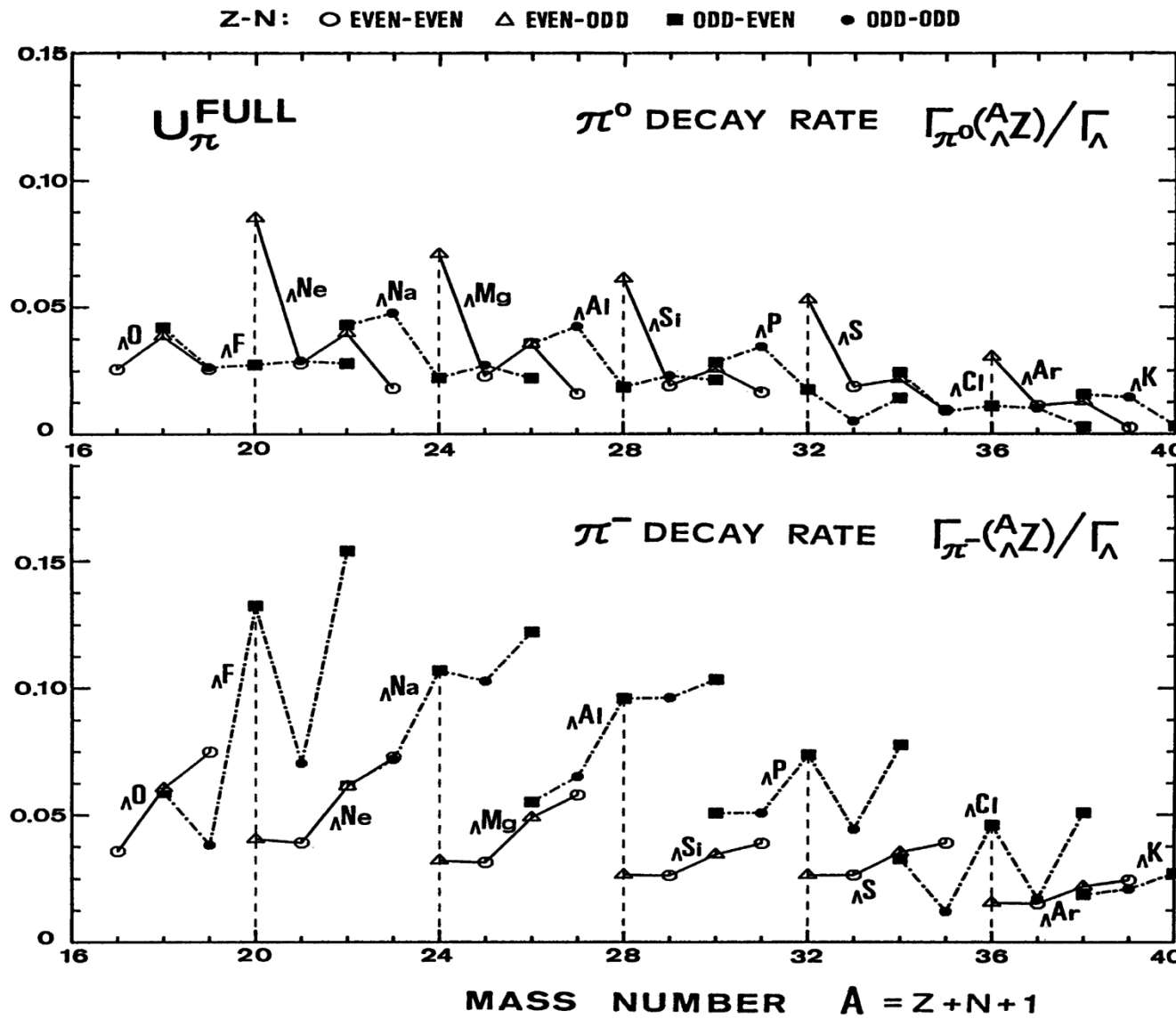
BNL $\blacklozenge \blacksquare$ J.J. Szymanski et al., P.R. C43 (1991)
 KEK \circ A. Sakaguchi et al., P.R. C43 (1991)



- { 1. Importance of π -DW 30~40% enhancement in p-shell
- 2. $\Gamma_{\pi^0} > \Gamma_{\pi^-}$ in ^{12}C has been confirmed by Exp.
→ sensitive to shell structure



sd-shell hypernuclear π -decays



ダブルハイパー核の弱崩壊

EXAMPLES ONLY

Production and decay

Motoba, Bando, Fukuda, and Zofka, Nucl. Phys. A534 (1991) 597.

Yamamoto, Wakai, Motoba, and Fukuda, Nucl. Phys. A625 (1997)
101.

Structure

Hiyama, Kamimura, Motoba, Yamada, and Yamamoto,
Phys. Rev. C 65 (2002) 011301

4. (e,e'K⁺) Reaction Spectroscopy

With Bydzovsky, Sotona, Itonaga,(Hiyama)

(K^-, π^-)

(π^+, K^+)

played a great role of
exciting high-spin series

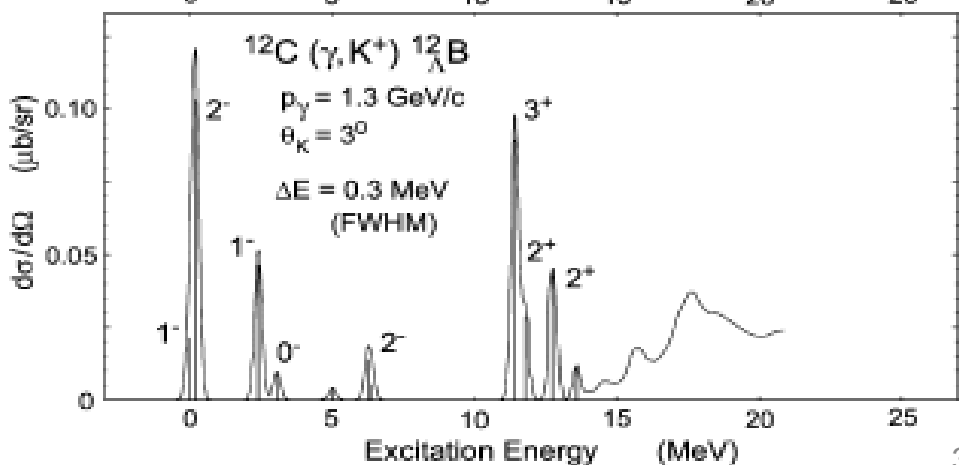
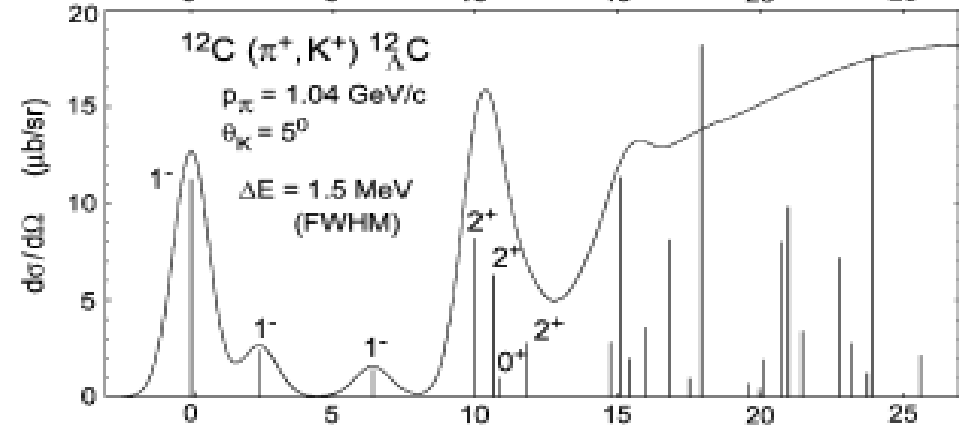
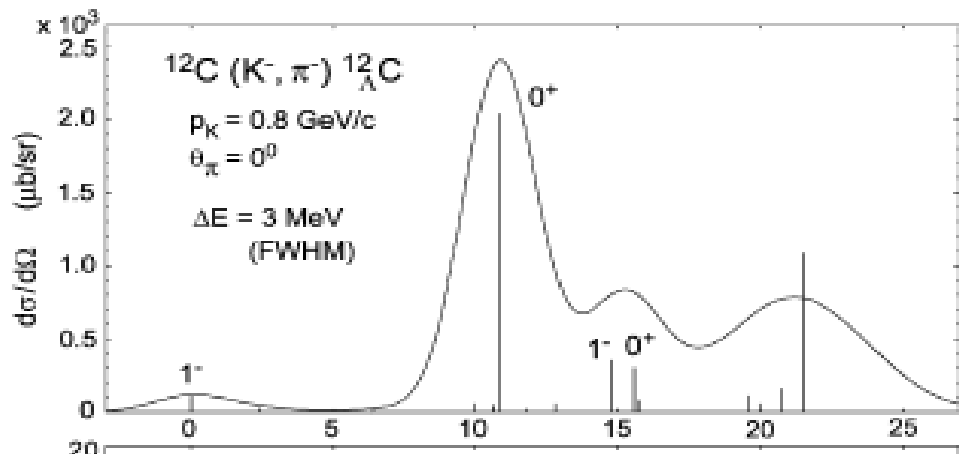
$\Gamma = 1.5$ MeV (best)

$(e, e' K^+), (\gamma, K^+)$

Motoba, Sotona, Itonaga,
Prog.Theor.Phys.S.117(1994)

T.M. Mesons & Light Nuclei (2000)
updated w/NSC97f.

JLab Exp't : $\Gamma = 0.5$ MeV



Why medium-mass hypernuclei ?

Basic motivation (2)

Unique characteristics of the $(e, e' K^+)$, (γ, K^+) process are based on the **basic properties** of elementary amplitudes for $\gamma p \rightarrow \Lambda K^+$:

- **sizable momentum transfer** to excite high-spin states, like (π^+, K^+)
- **spin-flip dominance** of the operator, leading to unnatural parity states

Lab $d\sigma/d\Omega$ for photoproduction (2Lab)

$$\frac{d\sigma}{d\Omega} \Big|_{\text{2Lab}} = \frac{(2\pi)^4 p^2 E_K E_\gamma E_A}{k\{p(E_A + E_K) - kE_K \cos\theta_L\}} \left| \langle \mathbf{k} - \mathbf{p}, \mathbf{p} | t | \mathbf{k}, 0 \rangle_L \right|^2, \quad (2.4)$$

$$\langle \mathbf{k} - \mathbf{p}, \mathbf{p} | t | \mathbf{k}, 0 \rangle_L = a_1(\boldsymbol{\sigma} \cdot \boldsymbol{\epsilon}) + a_2(\boldsymbol{\sigma} \cdot \hat{\mathbf{k}})(\hat{\mathbf{p}} \cdot \boldsymbol{\epsilon}) + a_3(\boldsymbol{\sigma} \cdot \hat{\mathbf{p}})(\hat{\mathbf{p}} \cdot \boldsymbol{\epsilon}) + a_4((\hat{\mathbf{k}} \times \hat{\mathbf{p}}) \cdot \boldsymbol{\epsilon}). \quad (2.5)$$

spin non-flip term
spin-flip terms

$$\langle \mathbf{k} - \mathbf{p}, \mathbf{p} | t | \mathbf{k}, 0 \rangle_L = \epsilon_0(f_0 + g_0\sigma_0) + \epsilon_x(g_1\sigma_1 + g_{-1}\sigma_{-1}) \quad (2.11)$$

with definitions of the coefficients:

$$f_0 = a_4 \sin\theta_L,$$

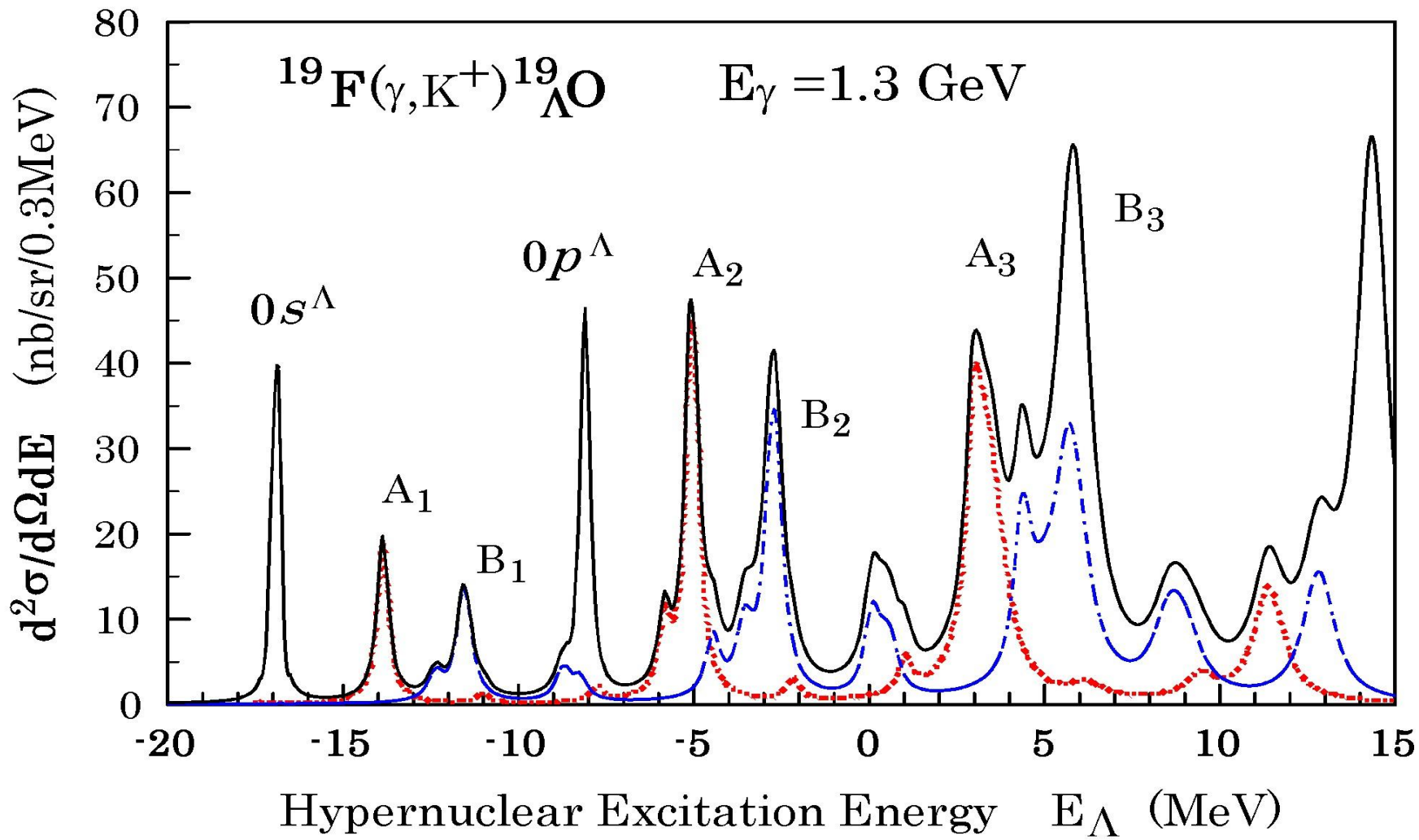
$$g_0 = a_1,$$

Spin-flip interaction are dominant

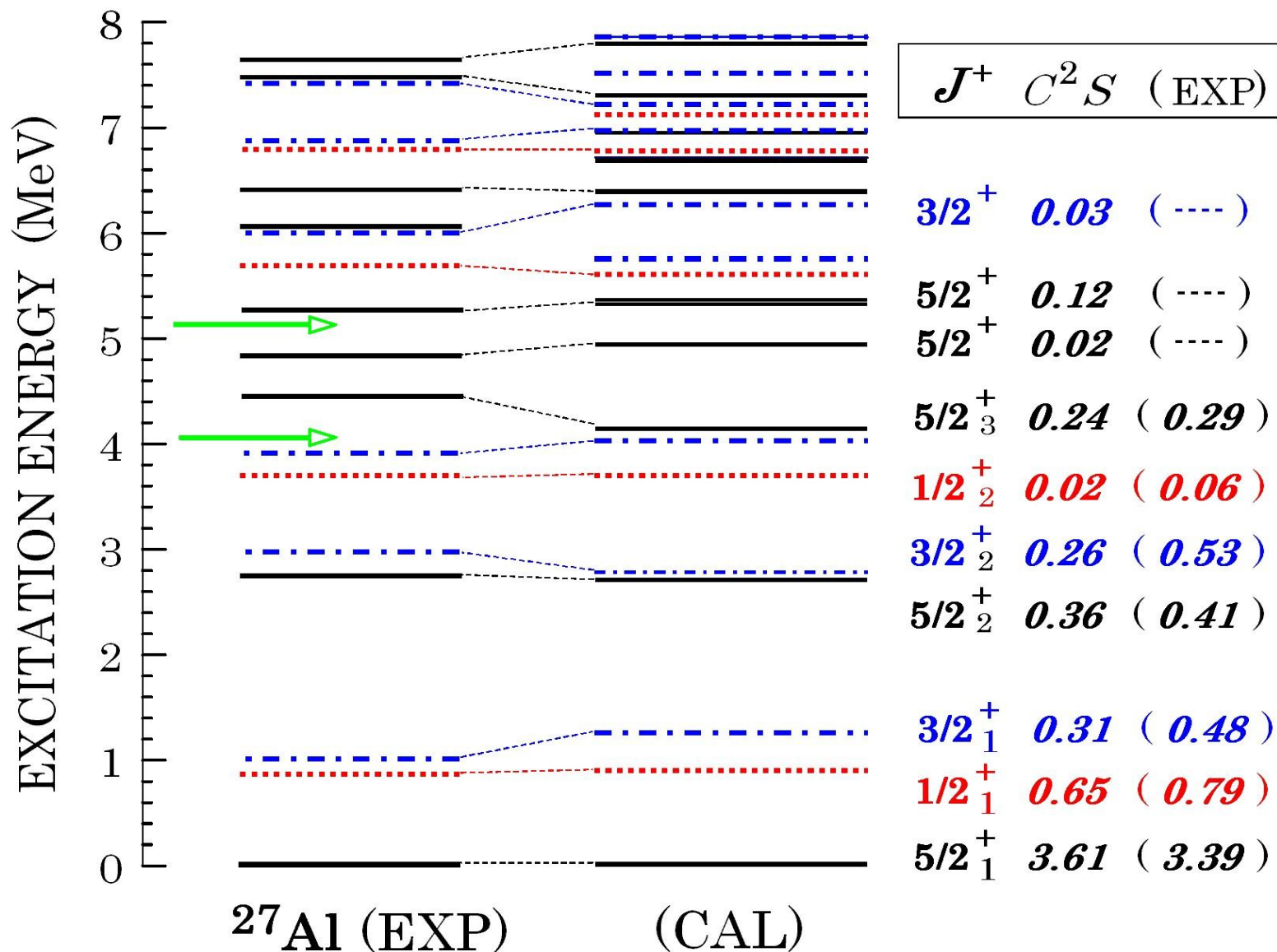
$$g_{\pm 1} = \frac{1}{\sqrt{2}} \{ \mp(a_1 + a_3 \sin^2\theta_L) - i \sin\theta_L (a_2 + a_3 \cos\theta_L) \}. \quad (2.12)$$

Lightest sd-shell target: ^{19}F

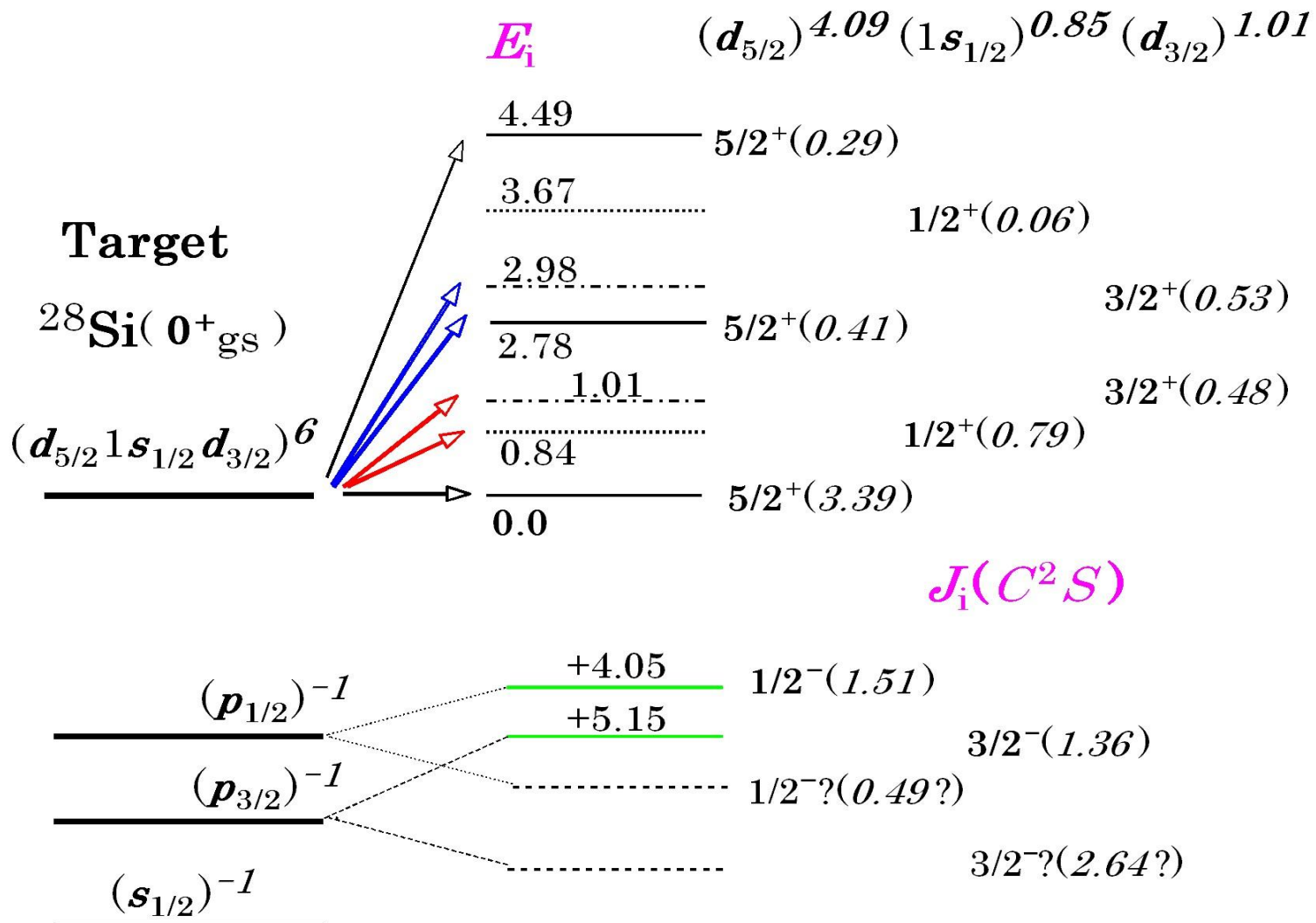
A's: $p_{1/2}$ -hole series, B's: $p_{3/2}$ -hole series



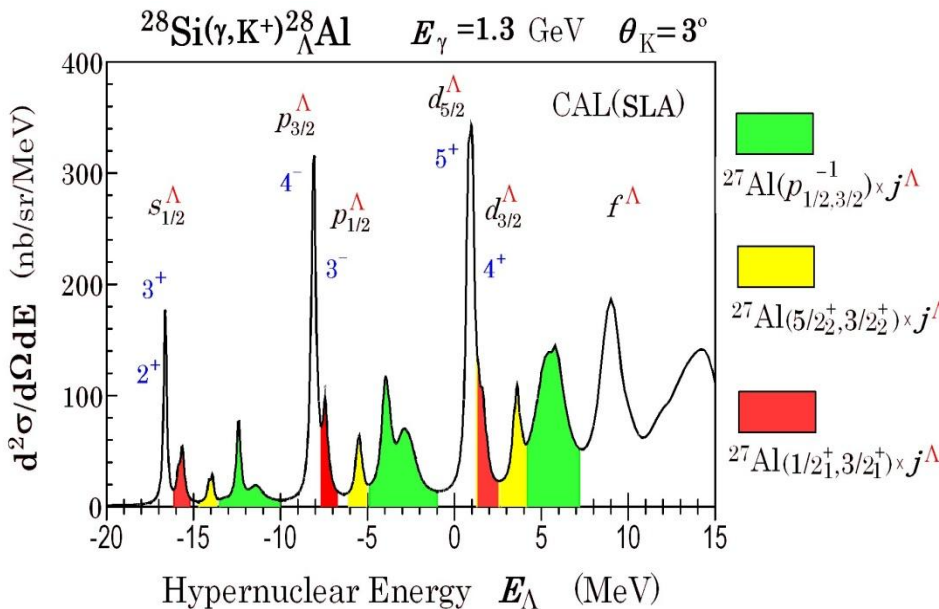
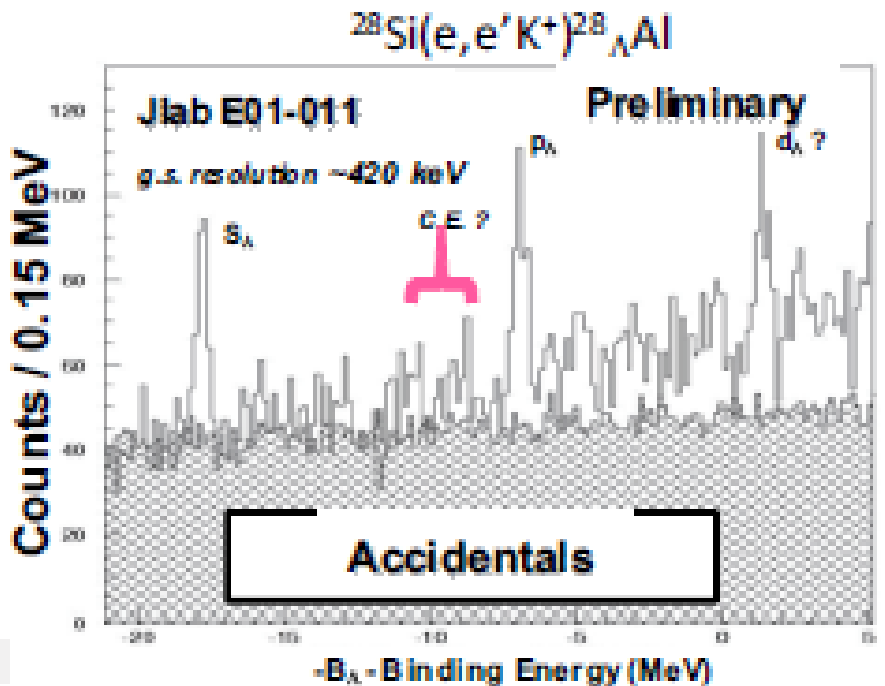
Proton pickup from $^{28}\text{Si}(0^+):(sd)^6 = (d_{5/2})^{4.1}(1s_{1/2})^{0.9}(d_{3/2})^{1.0}$



proton-state **fragmentations** should be taken into account *to be realistic*



$^{28}\text{Si}(\text{e},\text{e}'\text{K}^+)^{28}_{\Lambda}\text{Al}$ – First Spectroscopy of $^{28}_{\Lambda}\text{Al}$



Exp. data: O. Hashimoto et al,
Nucl. Phys. A 835 (2010) 121
(waiting for the finalization of analysis)

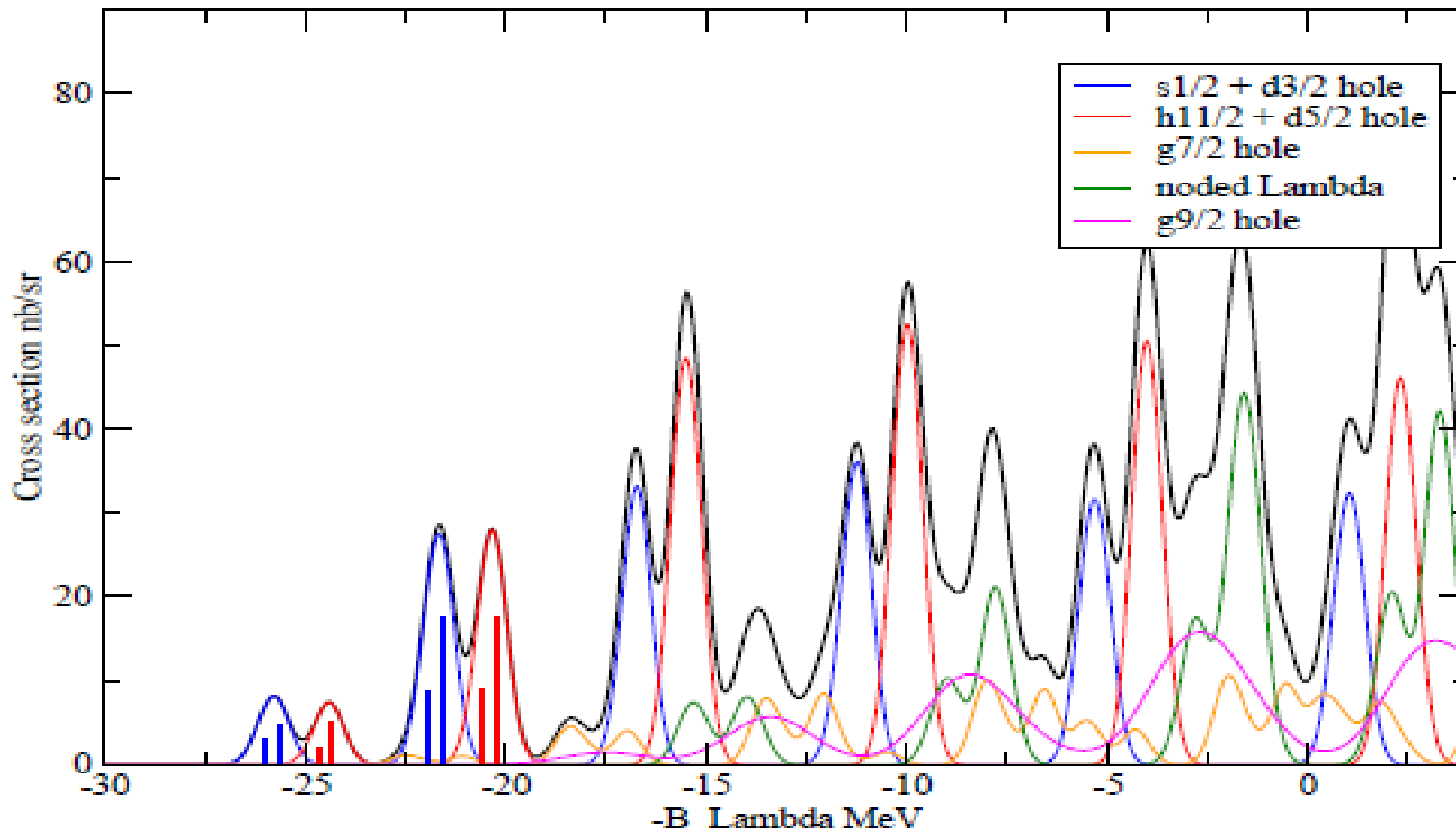
$$d^2\sigma/dEd\Omega$$

Two series of pronounced peaks (d_{3/2}hole, h_{11/2} hole),
Energy separation of 1.1–1.2 MeV, depending on Lam(nlj),

208Pb(γ ,K+) $p_{\gamma}=1.56$, $p_K=1.2$ GeV/c

208Pb(gamma,K+) Motoba/Millener

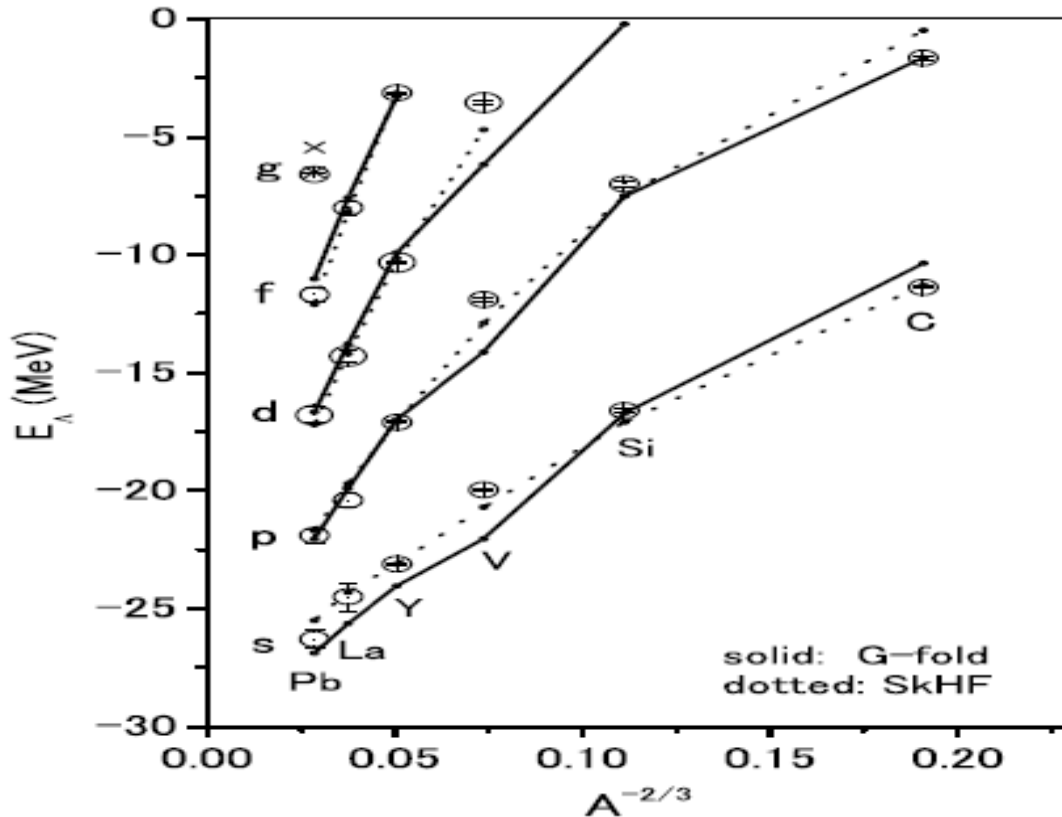
Resolution = 800 keV



Single-particle energies of Λ

G-matrix results vs. experiments

(Y. Yamamoto et al.: Prog. Ther. Phys. S.185 (2010) 72.)



Sd- and *fp*-shell data are quite important to extract the Λ behavior in nuclear matter.

Fig. 1. Energy spectra of ^{13}C , ^{28}Si , ^{51}V , ^{89}Y , ^{139}La and ^{208}Pb are given as a function of $A^{-2/3}$, A being mass numbers of core nuclei. Solid (dashed) lines show calculated values by the G-matrix folding model derived from ESC08a (the Skyrme-HF model). Open circles denote the experimental values taken from Ref. 17).

PROSPECTS

- 1) Based on the elementary amplitudes, the microscopic theoretical framework for hypernuclear production XS were discussed.
- 2) Several photo-production spectra have been calculated by taking account of major core-excitation effects. The prediction for $^{28}_{\Lambda}\text{Al}$ is well compared with the recent experiments.
- 3) Predictions are made also for heavier typical targets, ^{40}Ca and ^{52}Cr , showing fruitful aspects.

4) Medium-mass hypernuclear production by ($e, e' K^+$) .
provide us with good opportunities in understanding the
details of the hyperon motion in nuclear matter.
(Λ -s.p.e. to establish “textbook”, Rotation/Vib.- Λ coupling, Auger effect, μ_Λ , $e_{\text{eff}}(\Lambda)$, etc)

Remark:

The present frameworks apply also to
 Ξ -hypernuclear production with sd-shell
targets which might be fruitful at J-PARC.

その他(追加の雑談3つ)

- (1) Prospects of Strangeness Nuclear Physics
- (2)高校生へのストレンジネス核物理の魅力発信
- (3)中学生からの国語力＝思考力の確実な育成

(1) H. Bando's Prospects

P.T.P. Suppl. 81 (1985)

**Three directions and three aspects
of baryon many-body physics**

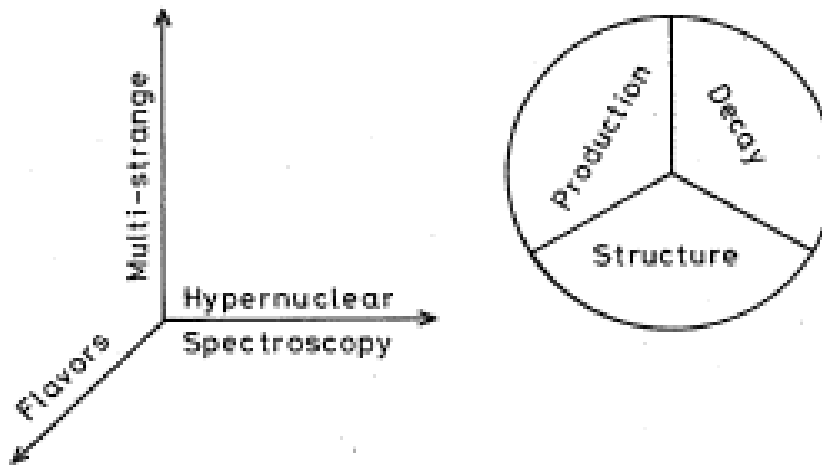
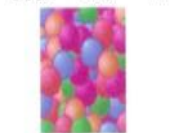


Fig. 1. Three directions and three aspects expected for the development of hypernuclear physics in future.

Three-dimensional nuclear chart

(from H. Tamura)

$Nu \sim Nd \sim Ns$



$p, n, \Lambda, \Xi^0, \Xi^-$

higher density



Λ, Σ hypernuclei



Proton-rich nuclei



Neutron-rich nuclei



neutron halo

$S = -\infty$

Strangeness in neutron stars ($\rho > 3 - 4 \rho_0$)

Strange hadronic matter ($A \rightarrow \infty$)

$\Lambda\Lambda, \Xi$ hypernuclei

ΛN interaction

$S = -2$

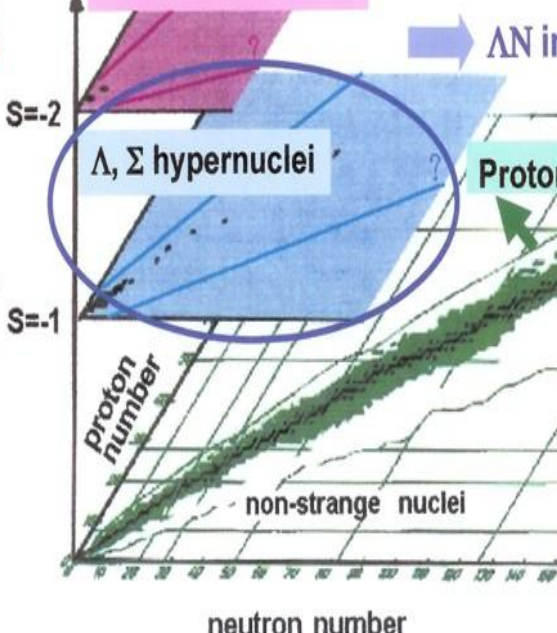
$S = -1$

$S = 0$

$S = 1$

$S = 2$

$S = \infty$



3-dimensional nuclear chart

(First 3D illustration

appeared In literature:

Genshikaku Kenkyu 32

(1987) 97.

See P.T.P. S.185 (2010) 1.)

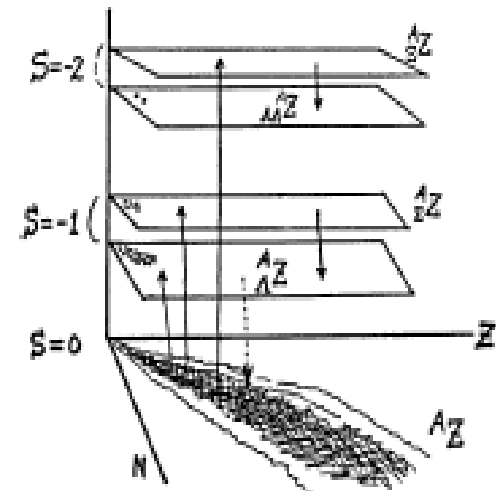


Fig. 3. 3D-illustration of hypernuclear chart drawn for the first time with the strangeness axis added (1986).⁶¹⁾

(2)高校生への学問アピールの必要性

橋本さんからのTELで偶然知った記事(1996)



大学の基本といえば、やっぱり学問。だからこそ『興味のあることを思いっきり学べるか』って、すごく大事なことなんだ。本誌では、キミたちの後悔しない大学選びを応援すべく、41テーマで大学の学問を徹底紹介していくぞ。キミが「ホントに学びたいこと」しっかり探してみよう！

CONTENTS

総力特集 学校選びのキホンは学問にアリ

『興味あることが学べる』大学を探せ！

PART-1 まずはテスト で自己診断 キミにピッタリの「学問ワールド」はこれだ！ 12

PART-2 学びの41テーマで学問ワールド徹底大解剖 22

Ⓐ 人間の意識・行動を解明したい 28 F 夢のマシンを開発したい 79
1心理 2人間科学 3教育・児童 22機械 23航空・船舶

Ⓑ 文化の成り立ちを探求したい 33 G 自然の原理を追究したい 81
4文学 5歴史・地理 6哲学・宗教 24数学 25物理 26化学 27生物 28地球・宇宙
7芸術(美術・デザイン・音楽・演劇・文芸・その他)

Ⓒ 社会の仕組みを知りたい 39 H 自然と人間の調和を考えたい 87
8法律 9政治 10経済 11商業・経営・ビジネス 29農業・林業 30バイオテクノロジー 31獣医・畜産・水産

12社会 13マスコミ I 人々の健康を守りたい 94
32医学 33歯学 34薬学 35医療・看護・保健
36スポーツ・健康

Ⓓ 國際社会で活躍したい 54 J 快適な生活を創造したい 105
14外国語 15国際関係・国際文化 16日本語・日本文化 37食品・食物・栄養 38家政・生活科学
39建築・土木・都市計画 40福祉 41地球環境

Ⓔ 未来のテクノロジーを研究したい 67
17電気・電子 18コンピュータ・情報処理 19経営工学
20資源・エネルギー 21新素材・材料



PART-3 志願者数・倍率まで
バッチャリわかる！ | 41テーマ別 学べる大学発見リスト 123

「大学選び」(リクルート)1996.9.23号より

自然の原理を
追究したい

物理

ミクロの世界の 相互作用解明 が宇宙へも

大阪電気通信大学
工学部数理科学研究センター
物理学研究室

角砂糖大にすると約2億トンになるという超高密度な世界が原子核。元場俊雄教授の研究室では、この原子核にラムダなど奇妙な粒子が侵入した「ハイパー原子核」を研究。原子核に中間子を衝突させてハイパー核を生成する確率を予測するなど、その構造を分析している。「ハイペロン粒子に働く未知の相互作用の研究は宇宙の物質様式解明にもつながる」(元場教授)という壮大な研究なのだ。



「ロマンのある研究です」と語る元場教授

物質をめぐる面白ワールド

その3 ハイパー原子核

高温超伝導の 磁界中の特性 を探究する

千葉大学
理学部物理学科
低温物理学研究室

超伝導とは、低温状態で電気抵抗がなくなる。つまり、一度電流を流せば、永遠に流れ続けるという夢の現象だ。「研究室ではマイナス170度で超伝導になる高温超伝導体と構造の類似する人工超伝導体の磁場中での量子磁束線、簡単にいって『超伝導に生じる特殊な磁力線』の運動を研究」(桑沢好則助教授)。これにより、将来、高温超伝導物質のリニヤモーターカーや電力送電線等への応用も夢じゃない。



超伝導にはまだ未知の部分が多く残されている

その2 高温超伝導

低温状態でお きる現象を解 明する

岡山理科大学
理学部応用物理学科
低温物性研究室

常温では見られず、超低温状態になると発生する現象を研究しているのがこの研究室。テーマは超流動ヘリウム。液体ヘリウムは温度を下げると、粘性がないようふるまう。この状態が超流動ヘリウムで、この時にできる渦の発生メカニズムを研究している。超流動ヘリウムは「超伝導磁石やロケットの赤外線センサーのより有効な冷却に応用できる」(藤井佳子教授)という今後が注目の研究だ。



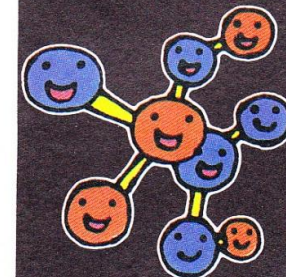
さまざまな装置を駆使し、超低温の現象を探究

その1 超流動ヘリウム

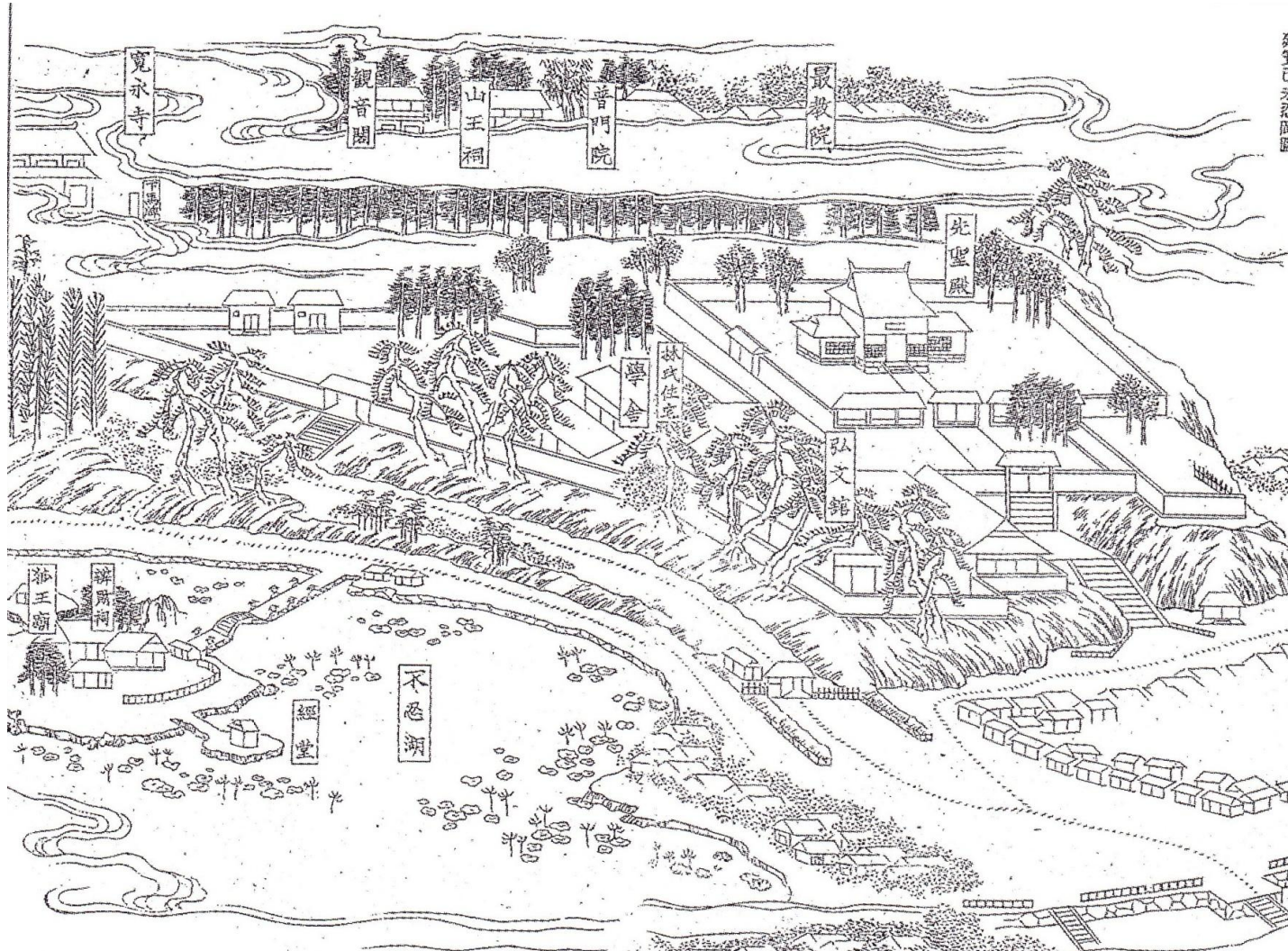
学びの大解剖

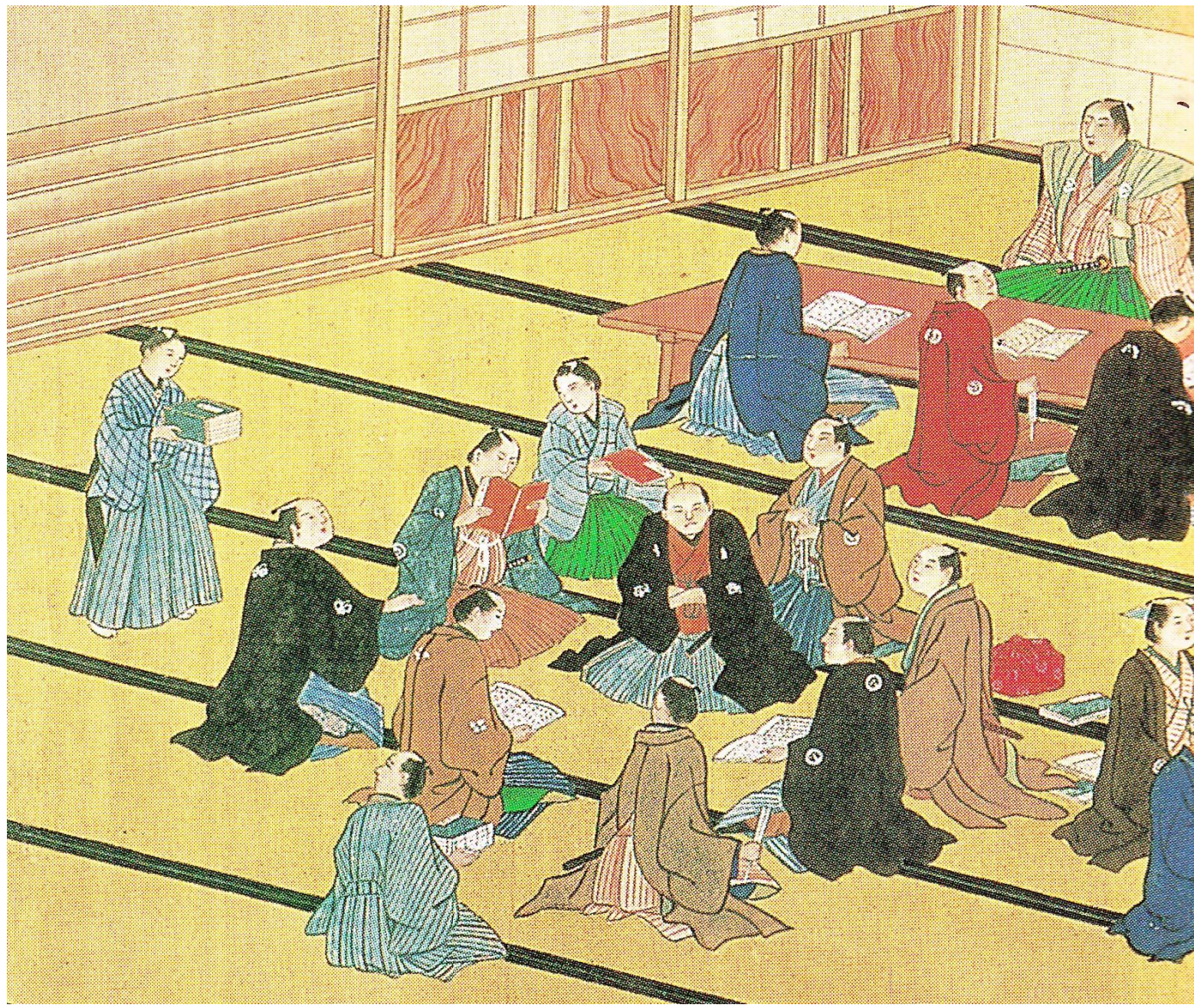
25

物理



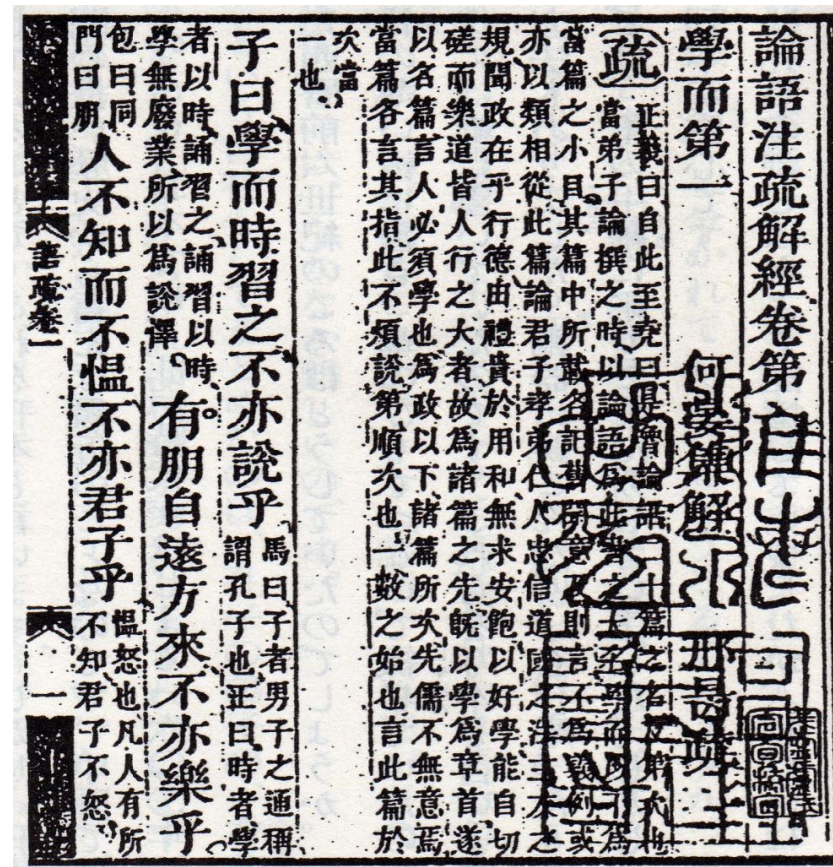
(3) 中学生の国語力育成を強調したい 下の図面は？(東京)





Confucious 孔子(551–479B.C.)

A great philosopher of ancient China



Other examples:

子曰、由、誨女知之乎。
知之為知之、不知為不知。
是知也。

子曰、學而不思則罔。
思而不學則殆。

どうもありがとうございました

- 志摩研究会へのご参加
- 長年の議論とご協力、激励、寄せ書き
- 長年の共同研究
- 研究会世話人の方々への感謝
- そして今後の発展へ